

Для служебного пользования
Экз. №

131

Бх. 50-С1
27.09.82.
Ознакомлен
4-Верховинч
Г. Радченко Ф.Ф.
02.10.82.

УДК 62-192:629.7.017.1

Группа Д19

ОТРАСЛЕВОЙ СТАНДАРТ

ОСТ 1 00448-82

НАДЕЖНОСТЬ ИЗДЕЛИЙ АВИАЦИОННОЙ ТЕХНИКИ

Методы распределения
показателей безотказности изделия
между его составными частями

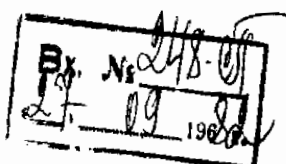
На 39 страницах

Введен впервые

Распоряжением Министерства от 30 марта 1982 г. № 087-16

Срок введения установлен с 1 января 1983 г.

Настоящий стандарт устанавливает методы определения рациональных уровней
безотказности составных частей проектируемого изделия, обеспечение которых позво-
ляет получить заданный уровень безотказности изделия в целом.



Издание официальное



ГР 8249602 от 02.06.82

Перепечатка воспрещена

№ изн.
№ изл.

383

Инв. № дубликата
Инв. № подлинника

1. ОБЩИЕ ПОЛОЖЕНИЯ

1.1. Уровни показателей безотказности изделия, установленные в тактико-технических заданиях (ТТЗ) на его разработку, распределяются между его составными частями (элементами) с целью обоснования количественных требований к безотказности составных частей и комплектующих элементов изделия.

1.2. Задачей распределения является установление рациональных уровней безотказности составных частей изделия, обеспечение которых позволяет получить заданный уровень безотказности изделия в целом.

1.3. Исходными данными для распределения показателей безотказности изделия по его элементам являются:

- показатели безотказности изделия, установленные в ТТЗ (ТЗ) на его разработку;
- функциональные зависимости показателей безотказности изделия от показателей его составных частей (элементов);
- ориентировочные значения показателей безотказности составных частей (элементов) изделия.

1.4. Распределаемым показателем является вероятность отказа \tilde{Q} изделия за определенную наработку \tilde{T} .

Если задается вероятность безотказной работы \tilde{P} изделия, либо наработка на отказ \tilde{T} , то переход к вероятности отказа \tilde{Q} осуществляется по формулам:

$$\tilde{Q} = 1 - \tilde{P}; \quad (1)$$

$$\tilde{Q} = \frac{\int_0^{\tilde{T}} P(t) dt}{\tilde{T}} \approx \frac{\tau}{\tilde{T}}. \quad (2)$$

Если изделие имеет m видов отказов, последствия которых различны, то распределяются значения вероятностей $\tilde{Q}_1, \tilde{Q}_2, \dots, \tilde{Q}_m$ каждого вида отказа в отдельности.

1.5. Функциональная зависимость вероятности отказа Q изделия от вероятностей отказов (видов отказов) q_1, q_2, \dots, q_n его составных частей (элементов) находится с помощью известных методов расчета показателей безотказности авиационных систем при проектировании, изложенных в действующих нормативно-технических документах

$$Q = \varphi(q_1, q_2, \dots, q_n). \quad (3)$$

Если заданы вероятности видов отказов $\tilde{q}_1, \tilde{q}_2, \dots, \tilde{q}_m$ изделия, то для

№ 138
№ 139

383

Нет. Необходима
Нет. Необходима

распределения необходимо найти функциональные зависимости

$$q_i = \varphi_i(q_1, q_2, \dots, q_n), i = \overline{1, m}, \quad (4)$$

где Q_i – вероятность возникновения i -го вида отказа изделия.

В тех случаях, когда вероятность отказа Q изделия представлена в виде функциональной зависимости

$$Q = f(\lambda_1, \lambda_2, \dots, \lambda_n; t),$$

где λ_j – интенсивность отказа j -го элемента, то, сделав в данном выражении замену $q_j = \lambda_j t$, получим функциональную зависимость (3).

1.6. Ориентировочные значения показателей безотказности составных частей (элементов) изделия представляются в виде вероятностей отказов

$$q_{o1}, q_{o2}, \dots, q_{on}. \quad (5)$$

Указанные вероятности даны либо непосредственно, либо определяются по формулам:

$$q_{oj} = 1 - e^{-\lambda_{oj} t_j} \approx \lambda_{oj} t_j; \quad (6)$$

$$q_{oj} = 1 - e^{-\omega_{oj} t_j} \approx \omega_{oj} t_j, \quad (7)$$

где t_j – наработка j -го элемента, соответствующая заданной наработке T изделия в целом;

λ_{oj} – ориентировочное значение интенсивности отказа j -го элемента, если данный элемент невосстанавливаемый;

ω_{oj} – ориентировочное значение параметра потока отказов j -го элемента, если данный элемент восстанавливаемый.

1.7. Кроме основного варианта (5) при распределении возможны следующие варианты исходной информации о показателях безотказности составных частей (элементов) изделия:

– заданы диапазоны возможных значений вероятностей отказов составных частей (элементов)

$$(q_{Hj}, q_{Bj}), (q_{H2}, q_{B2}), \dots, (q_{Hn}, q_{Bn}), \quad (8)$$

где q_{Hj} – минимально возможное значение вероятности отказа j -ой составной части (элемента);

q_{Bj} – максимально возможное значение вероятности отказа j -ой составной части (элемента);

№ изн.
№ изн.

383

Изл. № аудитора
Изл. № подпись

- заданы вероятности отказов некоторых составных частей (элементов) изделия наряду с его вероятностью отказа \tilde{Q} , не изменяющиеся в процессе распределения;

- ориентировочные значения вероятностей отказов некоторых составных частей (элементов) неизвестны.

1.8. Источниками информации для определения ориентировочных значений показателей безотказности составных частей (элементов) изделия являются:

- достигнутые уровни безотказности элементов-аналогов, определенные по результатам их массовой эксплуатации;
- достигнутые уровни безотказности элементов-аналогов за рубежом;
- результаты испытаний элементов, агрегатов и сборочных единиц изделия;
- результаты расчета показателей безотказности составных частей изделия.

2. МЕТОДЫ РАСПРЕДЕЛЕНИЯ ЗАДАННОЙ ВЕРОЯТНОСТИ ОТКАЗА ИЗДЕЛИЯ МЕЖДУ ЕГО СОСТАВНЫМИ ЧАСТЬЯМИ (ЭЛЕМЕНТАМИ)

2.1. На основании функциональной зависимости (3) и ориентировочных значений вероятностей отказов составных частей (элементов) находится ориентировочное значение вероятности отказа изделия в целом

$$Q_o = \Psi(q_{o1}, q_{o2}, \dots, q_{on}). \quad (9)$$

Искомые вероятности отказов (видов отказов) составных частей (элементов) определяются по формуле:

$$q_j = q_{oj} \left(\frac{\tilde{Q}}{Q_o} \right)^{\alpha_j} = q_{oj} \cdot \theta^{\alpha_j}, \quad (10)$$

где α_j - неизвестные параметры.

Задача определения рациональных значений вероятностей отказов составных частей (элементов) сводится к нахождению значений параметров $\alpha_1, \alpha_2, \dots, \alpha_n$, которые обращают в минимум квадратичную форму

$$\sum_{j=1}^n \alpha_j^2 = \alpha_1^2 + \alpha_2^2 + \dots + \alpha_n^2 \quad (11)$$

при обеспечении заданной вероятности отказа \tilde{Q} изделия в целом

$$\Psi(q_{o1} \cdot \theta^{\alpha_1}, q_{o2} \cdot \theta^{\alpha_2}, \dots, q_{on} \cdot \theta^{\alpha_n}) = \tilde{Q}. \quad (12)$$

Алгоритм распределения заданной вероятности отказа \tilde{Q} изделия по его составным частям (элементам) приведен в рекомендуемом приложении 1, а прог-

№ 13.
№ 03.

383

Ин. № документа
Ин. № подлинника

рамма распределения заданной вероятности отказа изделия между его составными частями (элементами) – в рекомендуемом приложении 2.

2.2. Если кроме ориентировочных значений вероятностей отказов составных частей (элементов) заданы диапазоны возможных значений вероятностей отказов составных частей (элементов), то вычисляется наименьшее значение вероятности отказа Q_H изделия, которое можно обеспечить по формуле:

$$Q_H = \varphi(q_{H1}, q_{H2}, \dots, q_{Hn}). \quad (13)$$

Если Q_H будет меньше \tilde{Q} , то при минимизации квадратичной формы (11) кроме условия (12) необходимо также обеспечить выполнение неравенств

$$q_{Hj} \leq q_j \leq q_{Bj}, \quad j = \overline{1, n}. \quad (14)$$

Если Q_H будет равно \tilde{Q} , то требуемые вероятности отказов $\tilde{q}_1, \tilde{q}_2, \dots, \tilde{q}_n$ элементов соответственно полагаются равными $q_{H1}, q_{H2}, \dots, q_{Hn}$.

Если Q_H будет больше \tilde{Q} , то заданное требование невозможно обеспечить при заданной структуре изделия.

2.3. Если наряду с вероятностью отказа \tilde{Q} изделия в целом заданы значения вероятностей отказов некоторых его составных частей (элементов), то соответствующие аргументы функциональной зависимости (3) полагаются равными заданным значениям. Дальнейшее определение требуемых вероятностей отказов составных частей (элементов), которыми можно варьировать, проводится в соответствии с п. 2.1.

2.4. Если ориентировочные значения вероятностей отказов q_{0j} некоторых составных частей (элементов) неизвестны, то их расчет проводится в следующем порядке:

- находятся частные производные

$$\psi_j(q_1, q_2, \dots, q_n) = \frac{\partial \psi(q_1, q_2, \dots, q_n)}{\partial q_j}, \quad j = \overline{1, n}; \quad (15)$$

- определяются многочлены

$$\gamma_j(q) = \psi_j(q, q, \dots, q) = \sum_{k=K_j}^r a_k q^k, \quad (16)$$

где K_j – наименьшая степень многочлена $\gamma_j(q)$;

r_j – наибольшая степень многочлена $\gamma_j(q)$.

- вычисляется вероятность

Ж-138.
Ж-139.

383

Но. № Арабовата
Но. № подлинника

$$Q_j = \varphi(\tilde{Q}^{\beta_1}, \tilde{Q}^{\beta_2}, \dots, \tilde{Q}^{\beta_n}), \quad (17)$$

где $\beta_j = \frac{1}{K_j + 1}$;

— определяются ориентировочные значения искомых вероятностей q_{oj} по формуле:

$$q_{oj} = (\ell \cdot \tilde{Q})^{\beta_j}, \quad (18)$$

где $\ell = \frac{\tilde{Q}}{Q_j}$.

В дальнейшем распределение заданной вероятности отказа \tilde{Q} изделия проводится в соответствии с п. 2.1.

3. МЕТОДЫ РАСПРЕДЕЛЕНИЯ ЗАДАННЫХ ВЕРОЯТНОСТЕЙ ВИДОВ ОТКАЗА ИЗДЕЛИЯ МЕЖДУ ЕГО СОСТАВНЫМИ ЧАСТЬЯМИ (ЭЛЕМЕНТАМИ)

3.1. На основании функциональных зависимостей (4) и ориентировочных значений вероятностей отказов составных частей (элементов) находятся ориентировочные значения вероятностей видов отказа $q_{oi}, q_{o2}, \dots, q_{on}$ изделия

$$q_{oi} = \varphi_i(q_{o1}, q_{o2}, \dots, q_{on}), \quad i = 1, m. \quad (19)$$

Искомые вероятности отказов (видов отказов) составных частей (элементов) определяются по формуле:

$$q_j = q_{oj} \left(\frac{1}{m} \sum_{i=1}^m \frac{\tilde{q}_i}{q_{oi}} \right) = q_{oj} x^{\beta_j}, \quad (20)$$

где β_j — неизвестные параметры.

Задача определения рациональных значений вероятностей отказов элементов сводится к нахождению значений параметров $\beta_1, \beta_2, \dots, \beta_n$, которые обращают в минимум квадратичную форму

$$\sum_{j=1}^n \beta_j^2 = \beta_1^2 + \beta_2^2 + \dots + \beta_n^2, \quad (21)$$

№ 130.
№ 132.

383

Но. № предмета
Но. № изданного

при обеспечении заданных вероятностей видов отказа $\tilde{Q}_1, \tilde{Q}_2, \dots, \tilde{Q}_m$ изделия в целом

$$\begin{aligned}\varphi_1(q_{01} x^{\beta_1}, q_{02} x^{\beta_2}, \dots, q_{0n} x^{\beta_n}) &= \tilde{Q}_1; \\ \varphi_2(q_{01} x^{\beta_1}, q_{02} x^{\beta_2}, \dots, q_{0n} x^{\beta_n}) &= \tilde{Q}_2; \\ \varphi_m(q_{01} x^{\beta_1}, q_{02} x^{\beta_2}, \dots, q_{0n} x^{\beta_n}) &= \tilde{Q}_m.\end{aligned}\quad (22)$$

Алгоритм распределения заданных вероятностей видов отказа $\tilde{Q}_1, \tilde{Q}_2, \dots, \tilde{Q}_m$ изделия по его составным частям (элементам) приведен в справочном, приложении 3.

3.2. Если кроме ориентировочных значений вероятностей отказов составных частей (элементов) заданы диапазоны возможных значений вероятностей отказов составных частей (элементов), то определяются наименьшие значения вероятностей видов отказов $Q_{H1}, Q_{H2}, \dots, Q_{Hm}$ изделия, которые можно обеспечить по формуле:

$$Q_{Hi} = \varphi_i(q_{H1}, q_{H2}, \dots, q_{Hn}), \quad i = \overline{1, m} \quad (23)$$

Если $Q_{Hi} \leq \tilde{Q}_1, Q_{H2} \leq \tilde{Q}_2, \dots, Q_{Hn} \leq \tilde{Q}_m$,

то при минимизации квадратичной формы (21) кроме условий (22) необходимо также обеспечить выполнение неравенств (14).

Если хотя бы одна из вероятностей Q_{Hi} будет больше \tilde{Q}_i , то при заданной структуре изделия заданные требования по видам отказов в целом обеспечить невозможно.

3.3. Если наряду с вероятностями видов отказов \tilde{Q}_i изделия заданы значения вероятностей отказов некоторых его составных частей (элементов), то соответствующие аргументы функциональных зависимостей (4) полагаются равными заданным значениям. Дальнейшее определение требуемых вероятностей отказов, которыми можно варьировать, проводится в соответствии с п. 3.1.

3.4. Если ориентировочные значения вероятностей отказов некоторых элементов неизвестны, то их расчет проводится в следующем порядке:

- находятся частные производные

$$\psi_{ij}(q_1, q_2, \dots, q_n) = \frac{\partial \varphi_i(q_1, q_2, \dots, q_n)}{\partial q_j}, \quad i = \overline{1, m}, j = \overline{1, n}. \quad (24)$$

№ 121.
№ 122.

383

Нас. № Администрация
Нас. № Исполнитель

- определяются многочлены

$$Y_{ij}(q) = \psi_{ij}(q, q, \dots, q) = \sum_{k_i=K_{ij}}^{r_{ij}} a_{k_i} q^{k_i}, \quad (25)$$

где K_{ij} - наименьшая степень многочлена $\psi_{ij}(q)$;

r_{ij} - наибольшая степень многочлена $\psi_{ij}(q)$;

- вычисляются вероятности

$$Q_{iv} = \varphi_i \left(\tilde{Q}_i^{v_{ij}}, \tilde{Q}_i^{v_{ij}}, \dots, Q_i^{v_{ij}} \right), \quad (26)$$

где $v_{ij} = \frac{1}{K_{ij} + 1}$;

- определяются вероятности $\hat{q}_{oj}^{(i)}$ по формуле:

$$\hat{q}_{oj} = (\ell_i \tilde{Q}_i)^{v_{ij}}, \quad (27)$$

где $\ell_i = \frac{\tilde{Q}_i}{Q_{iv}}$;

- находятся ориентировочные значения искомых вероятностей \hat{q}_{oj} по формуле:

$$\hat{q}_{oj} = \max(\hat{q}_{oj}^{(1)}, \hat{q}_{oj}^{(2)}, \dots, \hat{q}_{oj}^{(m)}), \quad j = \overline{1, n}. \quad (28)$$

В дальнейшем распределение заданных вероятностей видов отказов $\tilde{Q}_1, \tilde{Q}_2, \dots, \tilde{Q}_m$ проводится в соответствии с п. 3.1.

3.5. Примеры распределения показателей безотказности изделия между его составными частями (элементами) приведены в справочном приложении 4.

ПРИЛОЖЕНИЕ 1
РекомендуемоеАЛГОРИТМ РАСПРЕДЕЛЕНИЯ ЗАДАННОЙ ВЕРОЯТНОСТИ
ОТКАЗА \tilde{Q} ИЗДЕЛИЯ ПО ЕГО СОСТАВНЫМ ЧАСТИЯМ (ЭЛЕМЕНТАМ)

1. Минимум квадратичной формы (11) при обеспечении условия (12) находится по методу последовательных приближений. Если известно S -е приближение $\alpha_j^{(S)}$ параметра α_j , то $(S+1)$ -е приближение $\alpha_j^{(S+1)}$ определяется по формуле:

$$\alpha_j^{(S+1)} = \left[\sum_{k=1}^n b_k^{(S)} \alpha_k^{(S)} - \delta^{(S)} \right] \cdot \frac{b_j^{(S)}}{\sum_{k=1}^n [b_k^{(S)}]^2}, \quad (1)$$

где $b_j^{(S)} = \frac{e_n \theta}{\tilde{Q}} q_j^{(S)} \psi_j^{(S)}$; (2)

$$\delta^{(S)} = \frac{Q^{(S)} - \tilde{Q}}{\tilde{Q}}; \quad (3)$$

$$Q^{(S)} = \Psi(q_1^{(S)}, q_2^{(S)}, \dots, q_n^{(S)}); \quad (4)$$

$$q_j^{(S)} = q_{0j} \theta^{\alpha_j^{(S)}}; \quad (5)$$

$$\psi_j^{(S)} = \Psi_j(q_1^{(S)}, q_2^{(S)}, \dots, q_n^{(S)}). \quad (6)$$

Начальные (нулевые) приближения $\alpha_1^{(0)}, \alpha_2^{(0)}, \dots, \alpha_n^{(0)}$ параметров $\alpha_1, \alpha_2, \dots, \alpha_n$ полагаются равными нулю.

2. Поступательность вычислений в соответствии с формулами (1-6) представлена на чертеже в виде блок-схемы алгоритма распределения заданной вероятности отказа \tilde{Q} изделия по его элементам.

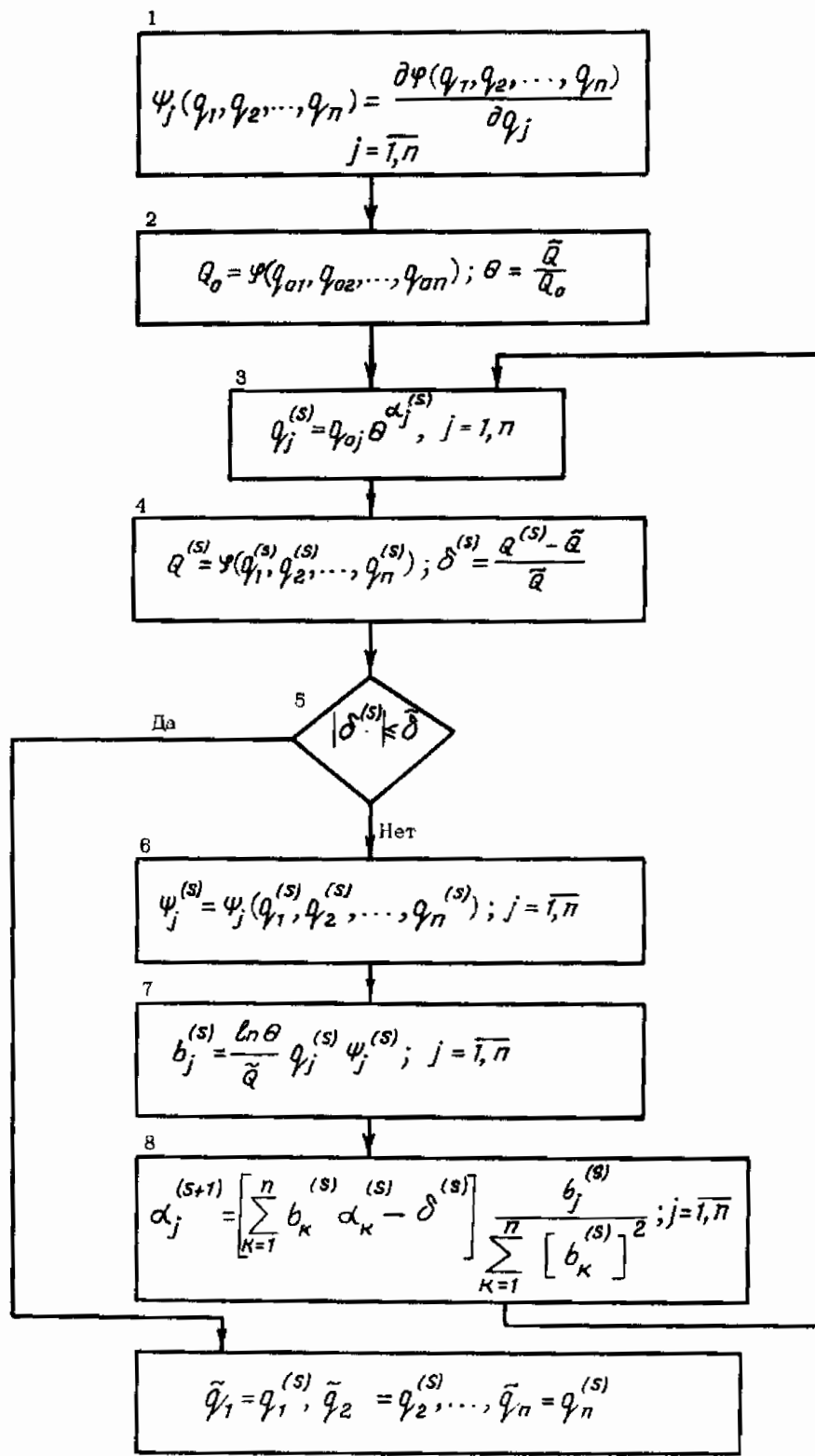
В блоке 1 находятся аналитические зависимости $\Psi_j(q_1, q_2, \dots, q_n)$ частных производных от функции отказности изделия, задаваемой уравнением (3).

В блоке 2 вычисляется ориентировочное значение вероятности отказа Q_o изделия и отношение θ требуемого значения вероятности отказа \tilde{Q} изделия к его ориентированному значению Q_o .

В блоке 3 вычисляются последовательные приближения $q_j^{(S)}$ требуемых вероятностей \tilde{Q}_j отказов элементов изделия. Причем нулевое (начальное) приближение $q_j^{(0)}$ равно q_{0j} .

№ 883
№ 884

Нар. № документа
Нар. № подлинника



№ 110.
№ 118.

383

Ин. № дубликата
Ин. № подлинника

В блоке 4 вычисляются последовательные приближения вероятности отказа изделия и их относительные отклонения $\delta^{(S)}$ от заданного значения вероятности отказа \bar{Q} изделия.

В блоке 5 производится сравнение модуля $|\delta^{(S)}|$ относительного отклонения $\delta^{(S)}$ с заданной точностью $\tilde{\delta}$, определяющей близость S -го приближения $Q^{(S)}$ к требуемому значению \bar{Q} .

Если $|\delta^{(S)}| \leq \tilde{\delta}$, то за требуемые значения вероятностей отказов \bar{q}_j элементов изделия принимаются соответствующие последовательные приближения $q_j^{(S)}$.

Если $|\delta^{(S)}| > \tilde{\delta}$, то вычисления продолжаются.

В блоке 6 вычисляются значения частных производных $\psi_j^{(S)}$ функции отказности изделия.

В блоке 7 вычисляются коэффициенты $b_j^{(S)}$.

В блоке 8 вычисляются $(S+1)$ -ые приближения $\alpha_j^{(S+1)}$ рациональных значений α_j и вычисления продолжаются, начиная с блока 3.

Совокупность вычислений, определяемая блоками 3-8, повторяется до тех пор, пока будут определены последовательные приближения $q_j^{(S)}$, которые можно положить равными требуемым значениям \bar{q}_j вероятностей отказов элементов изделия.

3. Если кроме ориентировочных значений вероятностей отказов составных частей (элементов) также заданы диапазоны возможных значений вероятностей отказов составных частей (элементов) изделия, то при распределении вместо формулы (5) используется формула:

$$q_j^{(S)} = \begin{cases} q_{oj} \theta^{\alpha_j^{(S)}}, & \text{если } q_{nj} \leq q_{oj} \theta^{\alpha_j^{(S)}} \leq q_{bj}; \\ q_{nj}, & \text{если } q_{oj} \theta^{\alpha_j^{(S)}} < q_{nj}; \\ q_{bj}, & \text{если } q_{oj} \theta^{\alpha_j^{(S)}} > q_{bj}. \end{cases} \quad (7)$$

№ 83.
№ 13.

383

Нр. № Абзац
Нр. № выражение

ПРИЛОЖЕНИЕ 2
Рекомендуемое

ПРОГРАММА РАСПРЕДЕЛЕНИЯ ЗАДАННОЙ ВЕРОЯТНОСТИ
ОТКАЗА ИЗДЕЛИЯ МЕЖДУ ЕГО СОСТАВНЫМИ ЧАСТЬЯМИ (ЭЛЕМЕНТАМИ)

1. Для распределения требования к безотказности изделия между его составными частями (элементами) с помощью ЭВМ предлагается программа на языке Фортран-1У (программа *NORMA N*).

Данная программа состоит из пяти программных единиц. Две из них, подпрограммы-функции *FI* и *PSI*, предназначены для вычисления соответственно значений функции вероятности отказа изделия *Q* и частных производных этой

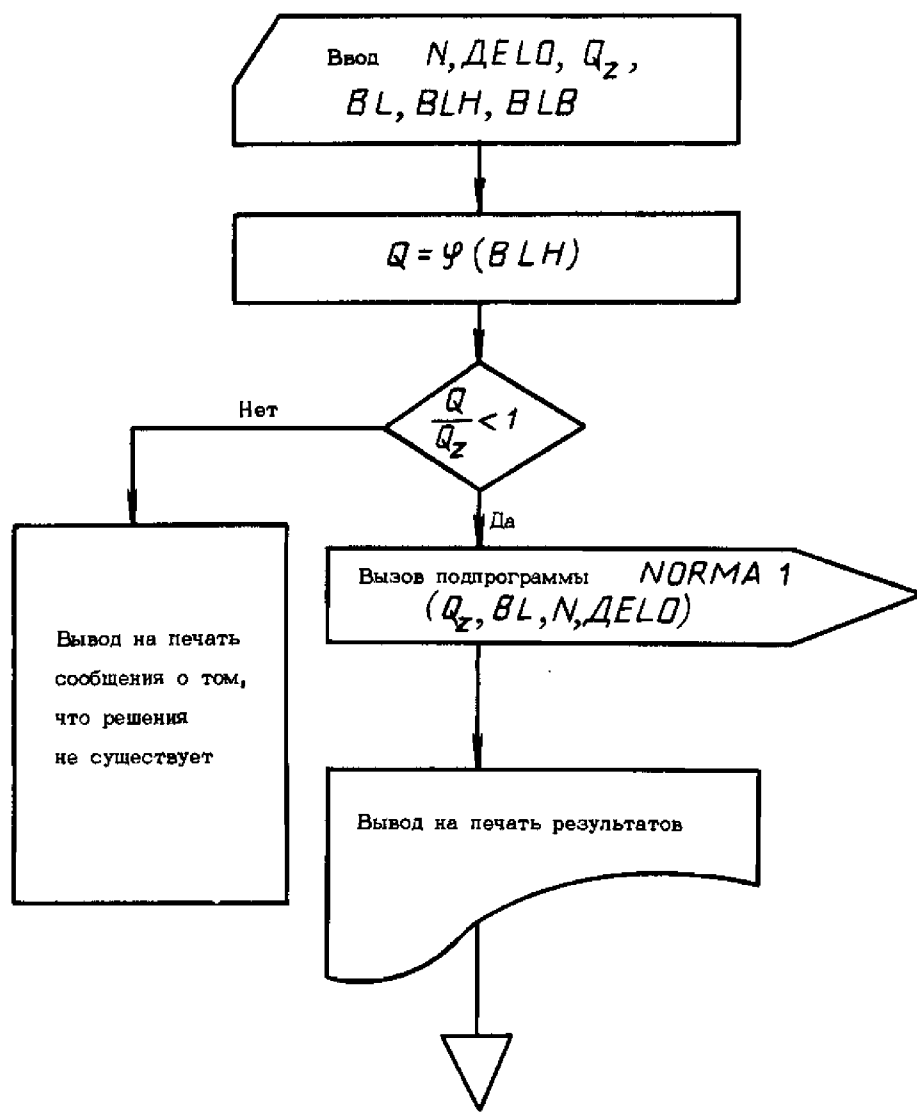
функции $\frac{\partial Q}{\partial q_j}$.

При изменении вида функции отказности эти подпрограммы должны изменяться. Остальные три программные единицы (основная программа *NORMA N* и подпрограммы *NORMA 1* и *TR*) служат непосредственно для реализации алгоритма распределения требований и остаются неизменными при изменении функции отказности. Блок-схемы этих программ изображены на черт. 1, 2 и 3.

В результате работы программы на печать выдаются требования к значениям вероятностей отказов элементов системы.

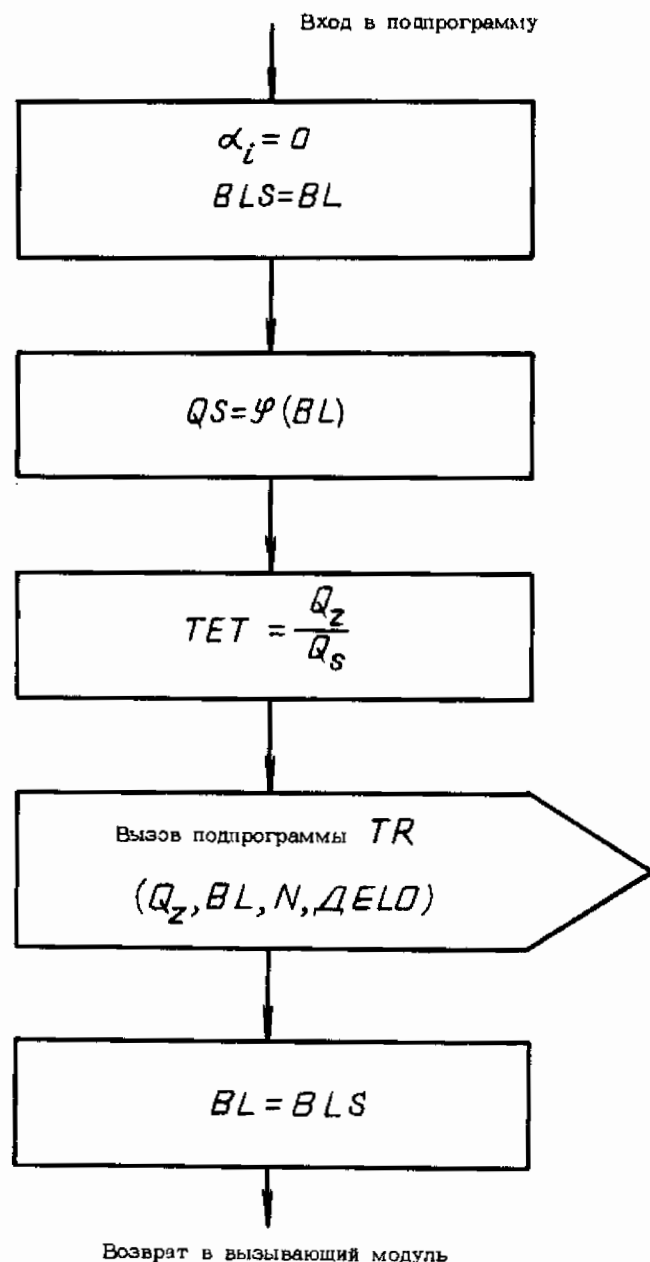
№ № дубликата	383
№ № подлинника	

Блок-схема программы NORMA N



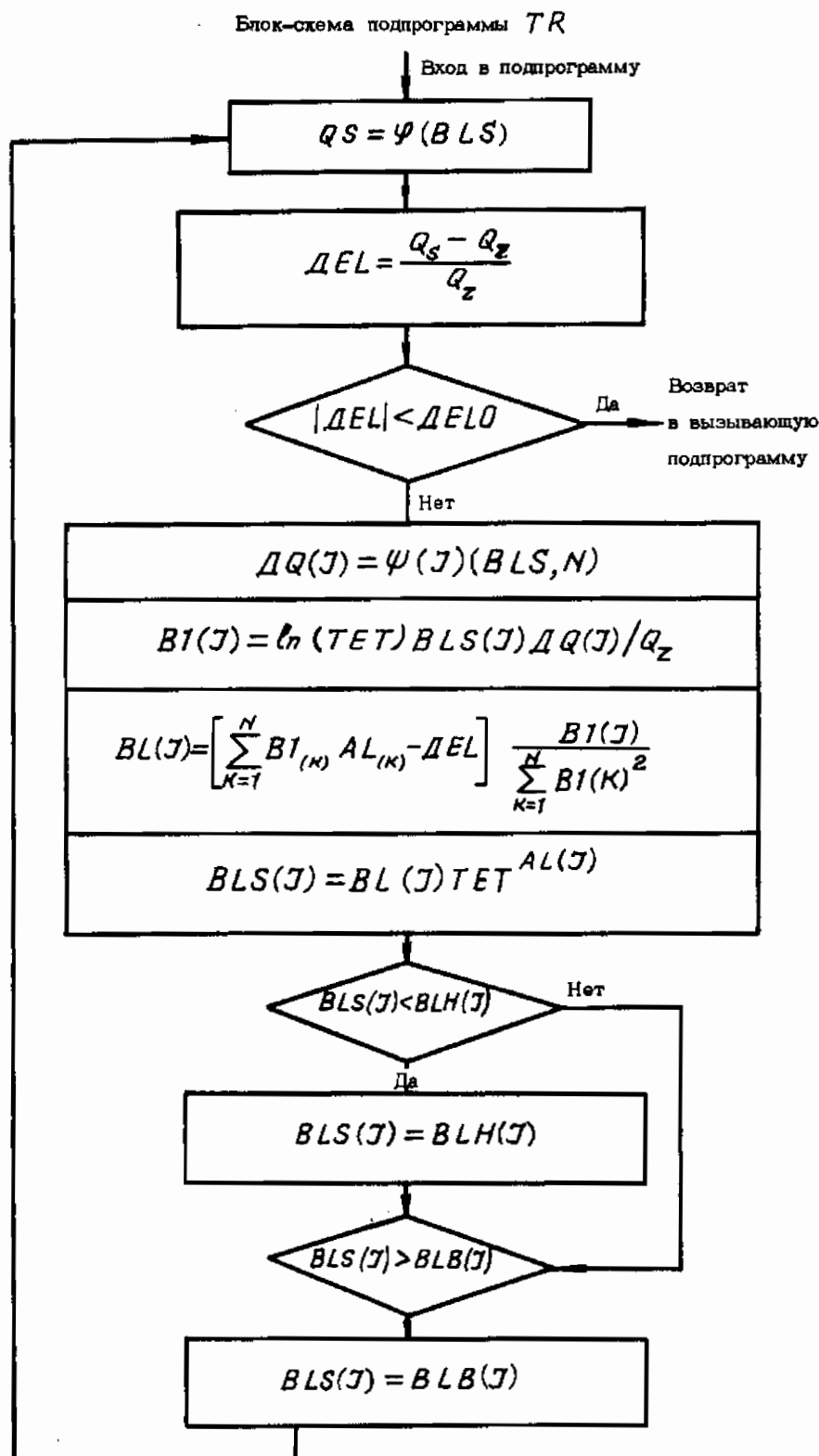
Черт. 1

Блок-схема подпрограммы NORMA 1



Черт. 2

Нр. № лубината	
Нр. № подшивки	383



Черт. 3

№ 120.
№ 121.

383

Нан. № Администратора
Нан. № подсистемы

2. ПОДГОТОВКА ЧИСЛОВОГО МАТЕРИАЛА

При подготовке числового материала для ввода в ЭВМ представлена программой следующие идентификаторы:

N - количество элементов системы;

ΔELO - относительная погрешность вычисления вероятности отказа;

Q_Z - заданная вероятность отказа системы;

BL - ориентировочные значения показателей безотказности элементов изделия;

BLH - минимальные значения показателей безотказности элементов изделия;

BLB - максимальные значения показателей безотказности элементов изделия;

$\Psi(q_j)$ - функция, представляющая зависимость вероятностей отказа системы от показателей безотказности элементов системы;

$\psi_j = \frac{\partial \Psi}{\partial q_j}$ - частные производные функции отказности.

В качестве примера рассматривается распределение заданной вероятности отказа Q_Z системы управления стабилизатором самолета между ее элементами (приложение 4, пример 2).

Число элементов в системе $N = 6$.

Вероятность отказа системы задается $Q_Z = 2,4 \cdot 10^{-4}$.

Относительная погрешность $\Delta ELO = 0,05$.

$BL(1) = 0,40 \cdot 10^{-5}$; $BLH(1) = 0$; $BLB(1) = 0,1 \cdot 10$;

$BL(2) = 0,12 \cdot 10^{-3}$; $BLH(2) = 0$; $BLB(2) = 0,1 \cdot 10$;

$BL(3) = 0,60 \cdot 10^{-2}$; $BLH(3) = 0$; $BLB(3) = 0,1 \cdot 10$;

$BL(4) = 0,80 \cdot 10^{-2}$; $BLH(4) = 0$; $BLB(4) = 0,1 \cdot 10$;

$BL(5) = 0,16 \cdot 10^{-1}$; $BLH(5) = 0$; $BLB(5) = 0,1 \cdot 10$;

$BL(6) = 0,20 \cdot 10^{-1}$; $BLH(6) = 0$; $BLB(6) = 0,1 \cdot 10$.

Функция отказности в данном случае имеет вид

$$\Psi(q_1, q_2, q_3, q_4, q_5, q_6) = q_1 + q_2 + q_3 + q_4 + q_5 + q_6.$$

Применимельно к предлагаемой программе получается следующее уравнение:

$P = A(1) + A(2) + A(3) A(4) + A(5) A(6)$, которое помещается в подпрограмму-функцию FI .

Частные производные от функции отказности $\Psi = [1; 1; q_4; q_3; q_6; q_5]$ в подпрограмме-функции PSI записываются в следующем виде:

$\Delta P(1) = 1$; $\Delta P(3) = A(4)$; $\Delta P(5) = A(6)$;

$\Delta P(2) = 1$; $\Delta P(4) = A(3)$; $\Delta P(6) = A(5)$.

№ 128.	№ 129.
383	

Но. № документа	Но. № подделки
-----------------	----------------

3. ТЕКСТ ПРОГРАММЫ РЕАЛИЗАЦИИ АЛГОРИТМА
РАСПРЕДЕЛЕНИЯ ЗАДАННОЙ ВЕРОЯТНОСТИ ОТКАЗА
ИЗДЕЛИЯ МЕЖДУ ЕГО ЭЛЕМЕНТАМИ (СОСТАВНЫМИ ЧАСТЬЯМИ)

```

C      PROGRAM NORMAN
C      DIMENSION BL(50),BH(50),BLB(50),BLS(50)
100  FORMAT (7E16.4)
200  FORMAT (10I5)
      READ 200, N
      PRINT 200, N
      READ 100, DELO
      PRINT 100, DELO
      READ 100, QZ
      PRINT 100, QZ
      READ 100, (BL(I),I=1,N)
      PRINT 100, (BL(I),I=1,N)
      READ 100, (BLH(I),I=1,N)
      PRINT 100, (BLH(I),I=1,N)
      READ 100, (BLB(I),I=1,N)
      CALL F1(BLH,Q)
      Q=Q/QZ
      IF(Q-1) 3,2,2
2     PRINT 300, Q
      GOTO 4
3     CALL NORMAI (QZ,BL,N,DELO,BLH,BLB)
      PRINT 400,(BL(I),I=1,N)
4     CONTINUE
400  FORMAT(3X,'ТРЕБОВАНИЯ К БЕЗОТКАЗНОСТИ ЭЛЕМЕНТОВ',/17(9E14.4))
300  FORMAT (1H ','BLH HF УД. ТРЕБ.',/4(12E16.4,/))
      STOP
      END
      SUBROUTINE NORMAI (Q3,CL,N,DEL0,CLH,CLB)
      COMMON // CLS(50),AL(50),CL0(50),TET
      DIMENSION CL(50)
      DIMENSION CLH(50),CLB(50)
100  FORMAT (6E12.4)
      DO 1 J=1,N
      AL(J)=0
      CLS(J)=CL(J)
1     CL0(J)=CLS(J)
      CALL FI (CL,QS)
      TET=Q3/QS
      CALL TR(Q3,CL,N,DEL0,CLH,CLB)
      DO 4 J=1,N
      CL(J)=CLS(J)
4     CONTINUE
      RETURN
      END
      SUBROUTINE TR(Q3,CL,N,DEL0,CLH,CLB)
      COMMON // CLS(50),AL(50),CL0(50),TET
      DIMENSION DQ(50),CL(50)
      DIMENSION CL1(50),R1(50)
      DIMENSION CLH(50),CLB(50)
100  FORMAT (6E12.4)
501  FORMAT(I10)
      IKC=0
13    CALL FI (CLS,Q1)
      QS=Q1
      DEL=(QS-Q3)/Q3
      PRINT 501,IKC

```

№ Альбома	№ листа
	388
№ Альбома	№ подшивки
	388

OCT 1 00448-82 Стр. 18

```
D=ARS(DEL)
PRINT 100,QS,Q3,D
PRINT 100,(CLS(J),J=1,N)
IF(D-DEL)>50,50,10
10 CALL PSI (CLS,DP,N)
DO 12 J=1,N
12 B1(J)=ALOG(TET)*CLS(J)*DB(J)/Q3
R1=0
R=2
DO 23 K=1,N
R1=R1+B1(K)*B1(K)
23 R=R+DEL
DO 24 J=1,N
AL(J)=R*B1(J)/R1
24 CLS(J)=CLB(J)*TET**AL(J)
DO 30 I=1,N
IF(CLS(I)=CLH(I)) 31,32,32
31 CLS(I)=CLH(I)
GO TO 30
32 IF(CLB(I)=CLS(I)) 33,38,38
33 CLS(I)=CLB(I)
30 CONTINUE
IKC=IKC+1
IF((IKC-10) 13,13,50
50 CONTINUE
RETURN
END
SUBROUTINE FI(A,B)
DIMENSION A(50)
F=A(1)+A(2)+A(3)*A(4)+A(5)*A(6)
RETURN
END
SUBROUTINE PSI(A,DP,NO)
DIMENSION A(50),DP(50)
CP(1)=1
CP(2)=1
CP(3)=A(4)
CP(4)=A(3)
CP(5)=A(6)
CP(6)=A(5)
RETURN
END
```

В результате работы программы получаем

ТРЕБОВАНИЯ К БЕЗОТКАЗНОСТИ ЭЛЕМЕНТОВ
0.3950E-05 0.8632E-04 0.5240E-02 0.6987E-02
0.9889E-02 0.1226E-01

№ 137.
№ 138.

383

№ № Альбома
№ № страницы

ПРИЛОЖЕНИЕ З
Справочное

АЛГОРИТМ РАСПРЕДЕЛЕНИЯ ЗАДАННЫХ ВЕРОЯТНОСТЕЙ

ВИДОВ ОТКАЗА $\tilde{Q}_1, \tilde{Q}_2, \dots, \tilde{Q}_m$ ИЗДЕЛИЯ ПО ЕГО
СОСТАВНЫМ ЧАСТИМ (ЭЛЕМЕНТАМ)

1. На чертеже представлена блок-схема алгоритма распределения вероятностей видов отказов $\tilde{Q}_1, \tilde{Q}_2, \dots, \tilde{Q}_m$ изделия по его составным частям (элементам), которая определяет последовательность вычислений при нахождении требуемых значений вероятностей отказов $\tilde{q}_1, \tilde{q}_2, \dots, \tilde{q}_n$ изделия.

Формулы, помещенные в блоках 2-10 и 12, непосредственно определяют соответствующие параметры.

Для нахождения параметров $d_1^{(S)}, d_2^{(S)}, \dots, d_m^{(S)}$ необходимо решить систему линейных уравнений, указанных в блоке 11, относительно данных параметров.

Начальные (нулевые) приближения $\beta_1^{(a)}, \beta_2^{(a)}, \dots, \beta_n^{(a)}$ параметров $\beta_1, \beta_2, \dots, \beta_n$ полагаются равными нулю.

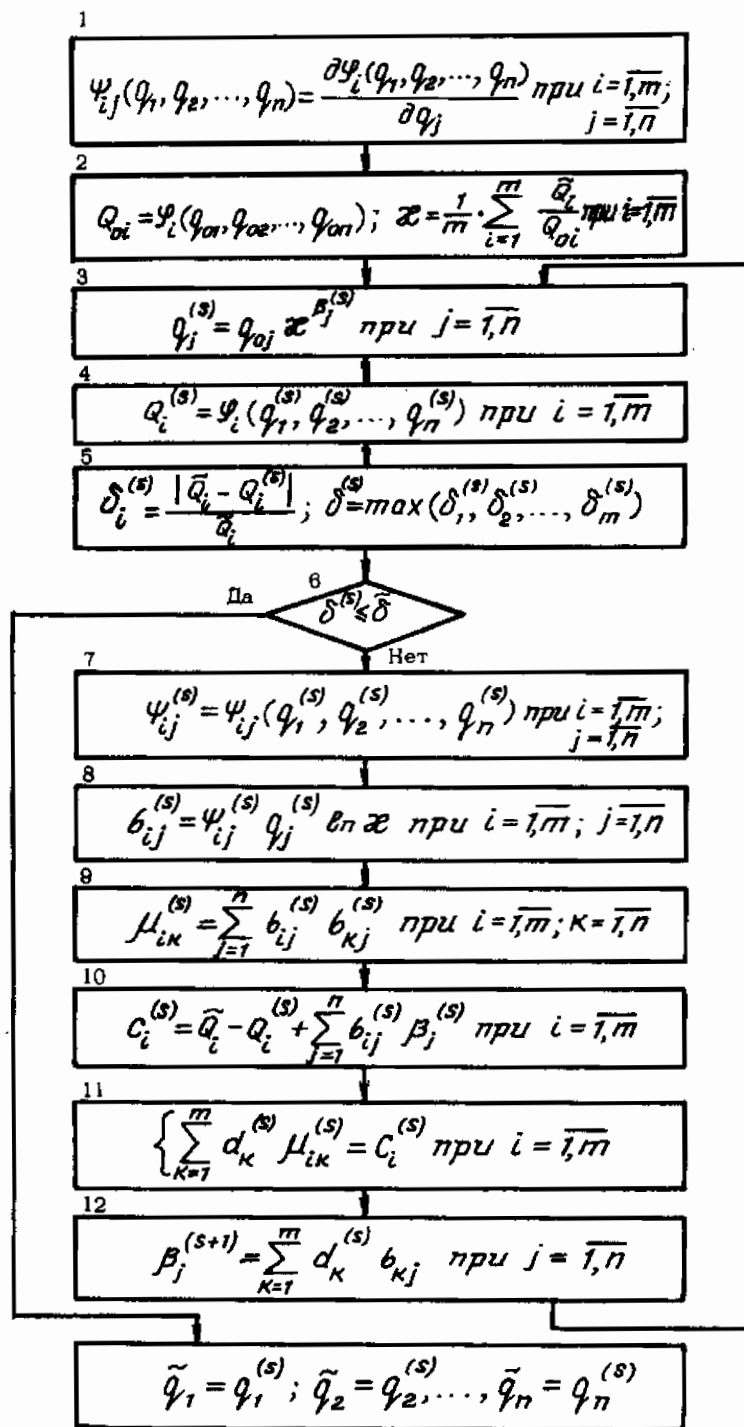
2. Если кроме ориентировочных значений вероятностей отказов составных частей (элементов) заданы диапазоны возможных значений вероятностей отказов составных частей (элементов) изделия, то при распределении вместо формулы, помещенной в блоке 3, используется формула:

$$q_j^{(S)} = \begin{cases} q_{0j} e^{\beta_j^{(S)}}, & \text{если } q_{Hj} \leq q_{0j} e^{\beta_j^{(S)}} \leq q_{Bj}; \\ q_{Hj}, & \text{если } q_{0j} e^{\beta_j^{(S)}} < q_{Hj}; \\ q_{Bj}, & \text{если } q_{0j} e^{\beta_j^{(S)}} > q_{Bj}. \end{cases} \quad (1)$$

Если $\psi_i(q_1, q_2, \dots, q_n)$ не зависит от q_j , то $\psi_{ij}^{(S)} = 0$ для любого S .

№ 121.	
№ 122.	

№ 121. № дубликата	
№ 122. № подлинника	383



№ 138.
№ 139.

383

Нет, Не Абсолютно
Нет, Не поддается

ПРИЛОЖЕНИЕ 4
СправочноеПРИМЕР РАСПРЕДЕЛЕНИЯ ПОКАЗАТЕЛЕЙ БЕЗОТКАЗНОСТИ
ИЗДЕЛИЯ МЕЖДУ ЕГО СОСТАВНЫМИ ЧАСТЬЯМИ (ЭЛЕМЕНТАМИ).

Пример 1. Согласно ТТЗ на самолет в целом вероятность отказа \tilde{Q} , приводящего к невыполнению полетного задания, должна быть не больше $5 \cdot 10^{-4}$. При этом заданная продолжительность полета T равна 4 ч. Требуется распределить заданную вероятность отказа между функциональными группами, указанными в табл. 1. При этом точность δ , определяющая близость S -го приближения $Q^{(S)}$ к требуемому значению \tilde{Q} , принимается равной 0,05.

В табл. 1 во второй графе помещены ориентировочные значения параметров потока отказов функциональных групп, полученные по результатам массовой эксплуатации самолета-аналога за определенный период. В третьей графе указаны ориентировочные значения вероятностей отказов функциональных групп за полет продолжительностью, равной 4 ч. При определении указанных вероятностей использовалась формула (7) стандарта. В четвертой и пятой графах помещены соответственно минимально и максимальные возможные значения вероятностей отказов функциональных групп за полет, полученные на основе анализа соответствующих показателей функциональных групп самолетов одинакового назначения.

Так как отказ любой из функциональных групп приводит к отказу самолета, то зависимость вероятности отказа Q самолета от вероятностей отказов q_j функциональных групп имеет вид

$$Q = \Psi(q_1, q_2, q_3, q_4, q_5, q_6) = q_1 + q_2 + q_3 + q_4 + q_5 + q_6 + q_7 + q_8 + q_9. \quad (1)$$

Исходные данные для распределения заданной вероятности отказа \tilde{Q} самолета между его функциональными группами.

Таблица 1

Наз. № агрегата Наз. № подсистемы	Наземное оборудование	Показатель безотказности				
		$\omega_{oj} 10^4 / 4$	$q_{oj} 10^4$	$q_{Hj} 10^4$	$q_{Bj} 10^4$	$\tilde{q}_j 10^4$
	Планер	0,08	0,32	0,14	0,32	0,28
	Силовая установка	0,74	2,96	1,60	2,96	1,60
	Взлетно-посадочные устройства	0,24	0,96	0,50	1,20	0,65
	Система управления полетом	0,16	0,64	0,40	0,80	0,48

Продолжение табл. 1

Наименование функциональной группы	Показатель безотказности				
	$\omega_{oj} \cdot 10^4$	$q_{oj} \cdot 10^4$	$q_{Hj} \cdot 10^4$	$q_{Bj} \cdot 10^4$	$\tilde{q}_j \cdot 10^4$
Пилотажно-навигационное оборудование	0,14	0,56	0,20	0,70	0,44
Электротехническое оборудование	0,04	0,16	0,10	0,30	0,15
Радиотехническое оборудование	0,08	0,32	0,20	0,32	0,28
Энергосистемы	0,20	0,80	0,30	1,00	0,57
Система жизнеобеспечения	0,32	1,28	0,50	1,30	0,79

Поскольку заданы минимально возможные значения вероятностей отказов q_{Hj} функциональных групп, то анализируется возможность реализации заданного требования на самолет в целом. Для этого определяется минимальное значение вероятности отказа самолета, которое можно обеспечить по формуле:

$$Q_H = \sum_{j=1}^g q_{Hj} = 3,76 \cdot 10^{-4}. \quad (2)$$

Так как $\tilde{Q} = 5 \cdot 10^{-4} > 3,76 \cdot 10^{-4}$, то заданное требование можно удовлетворить.

Распределение заданной вероятности отказа \tilde{Q} самолета по его функциональным группам проводится в соответствии с блок-схемой рекомендуемого приложения 1.

Частные производные ψ_j от функции φ будут равны

$$\psi_1 = \psi_2 = \psi_3 = \psi_4 = \psi_5 = \psi_6 = \psi_7 = \psi_8 = \psi_9 = 1.$$

Вычисляются $Q^{(o)}$, θ и $\delta^{(o)}$.

$$Q^{(o)} = Q_o = (0,32 + 2,96 + 0,96 + 0,64 + 0,56 + 0,16 + 0,32 + 0,80 + 1,28) \cdot 10^{-4} = 8 \cdot 10^{-4}, \quad \theta = \frac{5 \cdot 10^{-4}}{8 \cdot 10^{-4}} = 0,625, \quad \delta^{(o)} = \frac{(8-5) \cdot 10^{-4}}{5 \cdot 10^{-4}} = 0,6.$$

Так как $\delta^{(o)} > \tilde{\delta} = 0,05$, то определяются приближения $q_j^{(o)}, Q^{(o)}$ и $\delta^{(r)}$.

Вычисление $q_j^{(r)}, Q^{(r)}$ и $\delta^{(r)}$

$$b_1^{(o)} = \frac{\ln 0,625}{5 \cdot 10^{-4}} \cdot 0,32 \cdot 10^{-4} \cdot 1 = -3,0 \cdot 10^{-2}; \quad b_2^{(o)} = -28 \cdot 10^{-2}; \quad b_3^{(o)} = -9 \cdot 10^{-2};$$

$$b_4^{(o)} = -6 \cdot 10^{-2}; \quad b_5^{(o)} = -5 \cdot 10^{-2}; \quad b_6^{(o)} = -2 \cdot 10^{-2}; \quad b_7^{(o)} = -3 \cdot 10^{-2}; \quad b_8^{(o)} = -8 \cdot 10^{-2};$$

№ 138
№ 139

383

№ 140
№ 141

$$b_g^{(0)} = -12 \cdot 10^{-2};$$

$$\sum_{K=1}^8 [b_k^{(0)}]^2 = (3^2 + 28^2 + 9^2 + 6^2 + 5^2 + 2^2 + 8^2 + 12^2) \cdot 10^{-4} = 1156 \cdot 10^{-4};$$

$$\sum_{K=1}^8 [b_k^{(0)} \alpha_k - \delta^{(0)}] = -\delta^{(0)} = -0.6; \quad \alpha_1^{(0)} = \frac{0.6 \cdot 3 \cdot 10^{-2}}{1156 \cdot 10^{-4}} = 0.156;$$

$$\alpha_2^{(0)} = 1.453; \quad \alpha_3^{(0)} = 0.467; \quad \alpha_4^{(0)} = 0.311; \quad \alpha_5^{(0)} = 0.260; \quad \alpha_6^{(0)} = 0.104;$$

$$\alpha_7^{(0)} = 0.156; \quad \alpha_8^{(0)} = 0.415; \quad \alpha_9^{(0)} = 0.622.$$

Приближения δ_j определяются по формуле (7) рекомендованного приложения 1.

$$q_1^{(1)} = 0.32 \cdot 0.625 \cdot 0.156 \cdot 10^{-4} = 0.30 \cdot 10^{-4}; \quad q_2^{(1)} = q_{12}^{(1)} = 1.60 \cdot 10^{-4};$$

$$q_3^{(1)} = 0.77 \cdot 10^{-4}; \quad q_4^{(1)} = 0.55 \cdot 10^{-4}; \quad q_5^{(1)} = 0.80 \cdot 10^{-4}; \quad q_6^{(1)} = 0.15 \cdot 10^{-4};$$

$$q_7^{(1)} = 0.30 \cdot 10^{-4}; \quad q_8^{(1)} = 0.30 \cdot 10^{-4}; \quad q_9^{(1)} = 0.96 \cdot 10^{-4};$$

$$Q^{(1)} = (0.30 + 1.60 + 0.77 + 0.55 + 0.80 + 0.15 + 0.30 + 0.66 + 0.96) \cdot 10^{-4} =$$

$$= 5.79 \cdot 10^{-4};$$

$$\delta^{(1)} = \frac{(5.79 - 5) \cdot 10^{-4}}{5 \cdot 10^{-4}} = -0.458.$$

Так как $\delta^{(1)} = 0.156 > \delta = 0.05$, то определяются приближения $q_j^{(2)}, Q^{(2)}$ и $\delta^{(2)}$.

Вычисление $q_i^{(2)}, Q^{(2)}$ и $\delta^{(2)}$

$$b'' = \frac{670.625}{5 \cdot 10^{-4}} \cdot 0.30 \cdot 10^{-4} \cdot 1 = -2.8 \cdot 10^{-2}; \quad b_1^{(2)} = -15.0 \cdot 10^{-2};$$

$$b_2^{(2)} = -7.2 \cdot 10^{-2}; \quad b_3^{(2)} = -5.2 \cdot 10^{-2}; \quad b_4^{(2)} = -4.7 \cdot 10^{-2}; \quad b_5^{(2)} = -1.4 \cdot 10^{-2};$$

$$b_6^{(2)} = -2.8 \cdot 10^{-2}; \quad b_7^{(2)} = -6.2 \cdot 10^{-2}; \quad b_8^{(2)} = -9.0 \cdot 10^{-2};$$

$$\sum [b_k^{(2)}]^2 = (2.8^2 + 15.0^2 + 7.2^2 + 5.2^2 + 4.7^2 + 1.4^2 + 2.8^2 + 6.2^2 + 9.0^2) \cdot 10^{-4} \approx$$

$$\approx 485 \cdot 10^{-4};$$

$$\sum [b_k^{(2)} \alpha_k - \delta^{(2)}] = -(2.8 \cdot 0.156 + 15.0 \cdot 1.453 + 7.2 \cdot 0.467 + 5.2 \cdot 0.311 +$$

$$+ 4.7 \cdot 0.260 + 1.4 \cdot 0.104 + 2.8 \cdot 0.156 + 6.2 \cdot 0.415 + 9 \cdot 0.622) \cdot 10^{-2} - 0.158 =$$

$$= -0.530;$$

$$\alpha_1^{(2)} = \frac{-0.53 - 2.8 \cdot 10^{-2}}{463 \cdot 10^{-4}} = 0.321; \quad \alpha_2^{(2)} = 1.717; \quad \alpha_3^{(2)} = 0.824; \quad \alpha_4^{(2)} = 0.595;$$

$$\alpha_5^{(2)} = 0.538; \quad \alpha_6^{(2)} = 0.160; \quad \alpha_7^{(2)} = 0.321; \quad \alpha_8^{(2)} = 0.710; \quad \alpha_9^{(2)} = 1.030;$$

На черт. 1 представлена блок-схема системы управления стабилизатором самолета. При такой схеме подачи гидроэнергии отказ основной гидросистемы не вызывает нарушения управления стабилизатором, так как работа гидроусилителя будет обеспечиваться резервной гидросистемой.

Система подавливания также задублирована, т.е. для обеспечения нормального подавливания в обоих гидросистемах достаточно безотказной работы хотя бы одной системы подавления.

Используя метод логических схем, получим следующую зависимость вероятности отказа Q системы управления от вероятностей отказов q_j ее элементов

$$Q = \Psi(q_1, q_2, q_3, q_4, q_5, q_6) = q_1 + q_2 + q_3 \cdot q_4 + q_5 \cdot q_6.$$

Распределение заданной вероятности отказа \tilde{Q} проводится в соответствии с блок-схемой, помещенной на чертеже рекомендуемого приложения 1.

Частные производные Ψ_j от функции Ψ будут равны $\Psi_1 = \Psi_2 = 1$;

$$\Psi_3 = q_4; \Psi_4 = q_3; \Psi_5 = q_6; \Psi_6 = q_5;$$

Вычисляются $Q^{(0)}$, θ и $\delta^{(0)}$

$$Q^{(0)} = Q_0 = 0,04 \cdot 10^{-4} + 1,20 \cdot 10^{-4} + 60 \cdot 80 \cdot 10^{-8} + 160 \cdot 200 \cdot 10^{-8} = 4,92 \cdot 10^{-4};$$

$$\theta = \frac{2,4 \cdot 10^{-4}}{4,92 \cdot 10^{-4}} = 0,488; \delta^{(0)} = \frac{(4,92 - 2,40) \cdot 10^{-4}}{2,4 \cdot 10^{-4}} = 1,05.$$

Так как $\delta^{(0)} = 1,05 > \tilde{\delta} = 0,05$, то определяются приближения $q_j^{(1)}$, $Q^{(1)}$ и $\delta^{(1)}$.

Вычисление $q_j^{(1)}$, $Q^{(1)}$ и $\delta^{(1)}$

$$\Psi_1^{(0)} = \Psi_2^{(0)} = 1; \Psi_3^{(0)} = 80 \cdot 10^{-4}; \Psi_4^{(0)} = 60 \cdot 10^{-4}; \Psi_5^{(0)} = 200 \cdot 10^{-4};$$

$$\Psi_6^{(0)} = 160 \cdot 10^{-4}; b_1^{(0)} = \frac{1,20 \cdot 0,488}{2,4 \cdot 10^{-4}} \cdot 0,04 \cdot 10^{-4} \cdot 1 = -0,012; b_2^{(0)} = -0,359;$$

$$b_3^{(0)} = -0,144; b_4^{(0)} = -0,144; b_5^{(0)} = -0,957; b_6^{(0)} = -0,957;$$

$$\sum_{K=1}^6 [b_K^{(0)}]^2 = (0,12^2 + 3,59^2 + 1,44^2 + 1,44^2 + 9,57^2 + 9,57^2) \cdot 10^{-2} =$$

$$= 200,22 \cdot 10^{-2};$$

$$\sum_{K=1}^6 [b_K^{(0)} \alpha_K^{(0)} - \delta^{(0)}] = -\delta^{(0)} = -1,05;$$

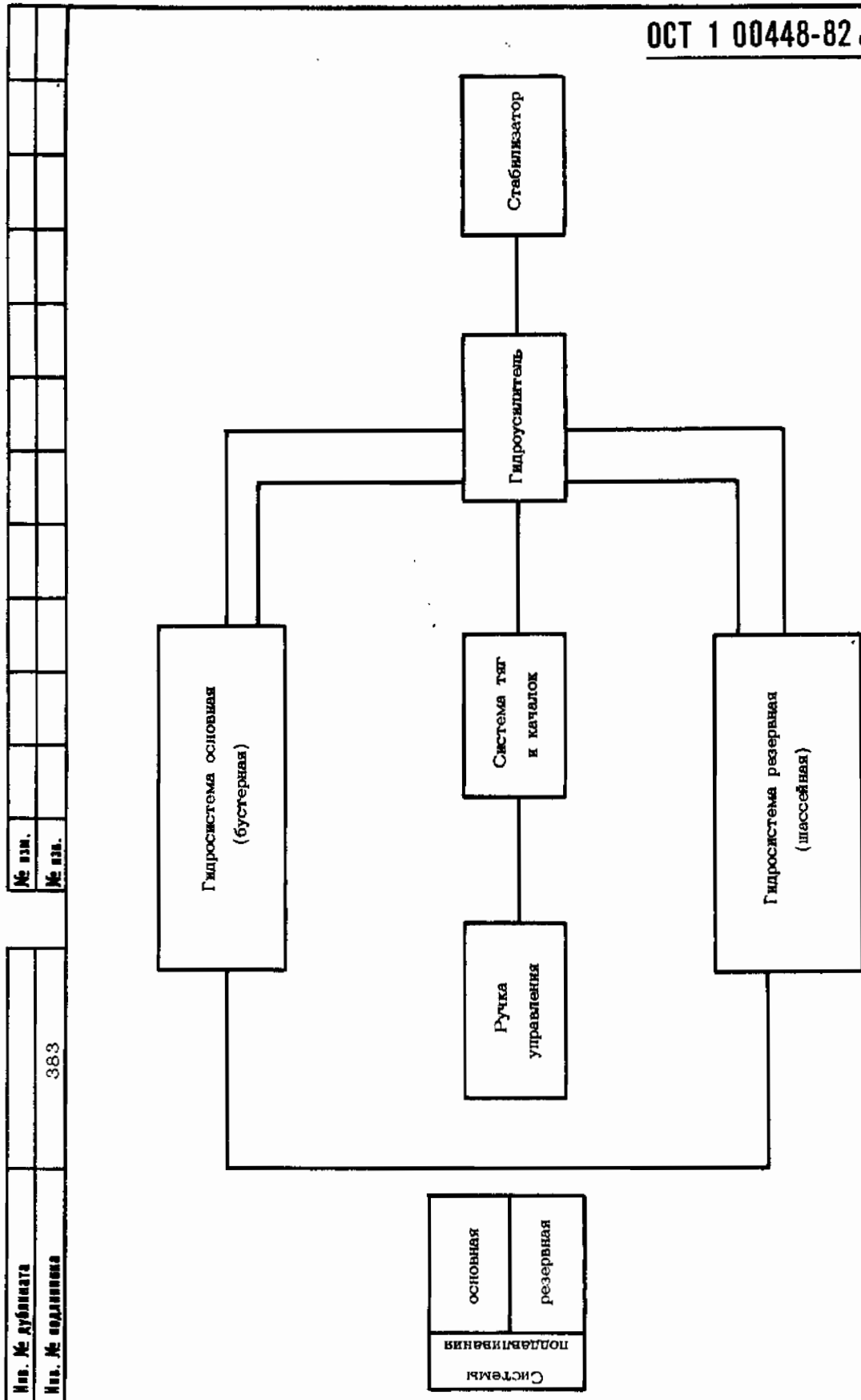
$$\alpha_1^{(1)} = \frac{1,05 \cdot 0,012}{200,22 \cdot 10^{-2}} = 0,006; \alpha_2^{(1)} = 0,188; \alpha_3^{(1)} = 0,076; \alpha_4^{(1)} = 0,076;$$

$$\alpha_5^{(1)} = 0,502; \alpha_6^{(1)} = 0,502; q_1^{(1)} = 0,04 \cdot 0,488^{0,006} \cdot 10^{-4} = 0,04 \cdot 10^{-4};$$

$$q_2^{(1)} = 1,05 \cdot 10^{-4}; q_3^{(1)} = 56,82 \cdot 10^{-4}; q_4^{(1)} = 75,75 \cdot 10^{-4};$$

Нес. № архива
Нес. № подлинника

383



Черт. 1

$$q_5^{(1)} = 111,61 \cdot 10^{-4}; q_6^{(1)} = 139,51 \cdot 10^{-4};$$

$$Q^{(1)} = 0,04 \cdot 10^{-4} + 1,05 \cdot 10^{-4} + 56,82 \cdot 75,75 \cdot 10^{-8} + 111,61 \cdot 139,51 \cdot 10^{-8} \approx$$

$$\approx 3,09 \cdot 10^{-4};$$

$$\delta^{(1)} = \frac{(3,09 - 2,40) \cdot 10^{-4}}{2,4 \cdot 10^{-4}} = 0,288 > \tilde{\delta} = 0,05.$$

Вычисление $q_j^{(2)}$, $Q^{(2)}$ и $\delta^{(2)}$

$$\psi_1^{(1)} = \psi_2^{(1)} = 1; \quad \psi_3^{(1)} = 75,75 \cdot 10^{-4}; \quad \psi_4^{(1)} = 56,82 \cdot 10^{-4}; \quad \psi_5^{(1)} = 139,51 \cdot 10^{-4};$$

$$\psi_6^{(1)} = 111,61 \cdot 10^{-4}; \quad b_7^{(1)} = \frac{6 \cdot 0,488}{2,4 \cdot 10^{-4}} \cdot 0,04 \cdot 10^{-1} \cdot 1 = -0,012;$$

$$b_2^{(1)} = -0,314; \quad b_3^{(1)} = -0,129; \quad b_4^{(1)} = -0,129; \quad b_5^{(1)} = -0,466; \quad b_6^{(1)} = -0,466;$$

$$\sum_{K=1}^6 [b_K^{(1)}]^2 = (0,12^2 + 3,14^2 + 1,29^2 + 1,29^2 + 4,66^2 + 4,66^2) \cdot 10^{-2} = 56,63 \cdot 10^{-2};$$

$$\sum_{K=1}^6 [b_K^{(1)} \alpha_K^{(1)} - \delta^{(1)}] = -(0,012 \cdot 0,006 + 0,314 \cdot 0,188 + 0,129 \cdot 0,076 +$$

$$+ 0,129 \cdot 0,076 + 0,129 \cdot 0,076 + 0,466 \cdot 0,502 + 0,466 \cdot 0,502) = 0,288 = -0,835;$$

$$\alpha_1^{(2)} = \frac{0,835 \cdot 0,012}{56,63 \cdot 10^{-2}} = 0,018; \quad \alpha_2^{(2)} = 0,463; \quad \alpha_3^{(2)} = 0,180;$$

$$\alpha_4^{(2)} = 0,180; \quad \alpha_5^{(2)} = 0,687; \quad \alpha_6^{(2)} = 0,687; \quad q_1^{(2)} = 0,04 \cdot 0,488^{0,016} \cdot 10^{-4} =$$

$$= 0,04 \cdot 10^{-4}; \quad q_2^{(2)} = 0,86 \cdot 10^{-4}; \quad q_3^{(2)} = 52,35 \cdot 10^{-4}; \quad q_4^{(2)} = 69,81 \cdot 10^{-4};$$

$$q_5^{(2)} = 97,73 \cdot 10^{-4}; \quad q_6^{(2)} = 122,17 \cdot 10^{-4};$$

$$Q^{(2)} = 0,04 \cdot 10^{-4} + 0,86 \cdot 10^{-4} + 52,35 \cdot 69,81 \cdot 10^{-8} + 97,73 \cdot 122,17 \cdot 10^{-8} =$$

$$= 2,46 \cdot 10^{-4};$$

$$\delta^{(2)} = \frac{(2,46 - 2,40) \cdot 10^{-4}}{2,40 \cdot 10^{-4}} = 0,025.$$

Так как $\delta^{(2)} = 0,025 < \tilde{\delta} = 0,05$, то требуемые значения вероятностей отказов \tilde{q}_j элементов системы управления стабилизатором полагаются равными $q_j^{(2)}$. Результаты проведенного распределения указаны в табл. 2 в четвертой графе.

Пример 3. Вероятность отказа \bar{Q} системы электроснабжения за 2 ч полета должна быть не более 10^{-6} . Требуется заданную вероятность отказа распределить между элементами, указанными в табл. 3. При этом точность $\delta^{(S)}$, определяющая близость S -го приближения $Q^{(S)}$ к требуемому значению \bar{Q} , принимается равной 0,05.

Исходные данные для распределения заданной
вероятности отказа \tilde{Q} системы электроснабжения
между ее элементами

Таблица 3

Наименование элемента	Показатель безотказности				
	$\lambda_{oj} \cdot 10^4 1/4$	$q_{oj} \cdot 10^4$	$q_{nj} \cdot 10^4$	$q_{Bj} \cdot 10^4$	$\tilde{q}_j \cdot 10^4$
Генератор левого борта	4,00	8,00	8,00	8,00	8,00
Блок защиты и управления левого борта	1,50	3,00	0,30	3,00	0,55
Блок коммутации шин	0,50	1,00	0,10	1,00	0,30
Генератор правого борта	4,00	8,00	8,00	8,00	8,00
Блок защиты и управления правого борта	1,50	3,00	0,30	3,00	0,55

В табл. 3 во второй графе помещены ориентировочные значения интенсивностей отказов элементов системы электроснабжения. В третьей графе указаны ориентировочные значения вероятностей отказов элементов за 2 ч полета. В четвертой и пятой графах помещены соответственно минимально (максимально) возможные значения вероятностей отказов элементов системы электроснабжения. При этом требуемая вероятность отказа одного генератора задана заранее и равна $8 \cdot 10^{-4}$.

На черт. 2 представлена блок-схема системы электроснабжения переменным током. В качестве источника переменного тока используются два генератора. Каждый генератор работает в комплекте с регулирующей защитной аппаратурой, объединенной в блоки защиты и управления. Левый генератор обеспечивает переменным током потребителей левого борта, а правый – потребителей правого борта. В случае отказа какого-либо генератора его блок защиты и управления посредством блока коммутации шин подключает потребителей отказавшего генератора к исправному генератору. При этом интенсивность отказа генератора, продолжающего работать, увеличивается в 1,5 раза.

Используя табличный метод расчета безотказности, получим следующую зависимость вероятности отказа Q системы электроснабжения от вероятностей отказов q_j ее элементов.

$$Q = \Psi(q_1, q_2, q_3) = 1,5 q_1^2 + q_1 q_2 + q_1 q_3.$$

Поскольку заданы минимально возможные значения вероятностей отказов q_{nj} элементов, то анализируется возможность реализации заданного требования

№ 131.
№ 132.

383

№ 1 № Абсолюта
№ 2 № подчинения

на систему в целом. Для этого определяется наименьшее значение вероятности отказа Q_H системы, которое можно обеспечить по формуле:

$$Q_H = 1,5 \varphi_{H1}^2 + \varphi_{H1} \varphi_{H2} + \varphi_{H1} \varphi_{H3} = 0,992 \cdot 10^{-6}$$

Так как $\tilde{Q} = 10^{-6} > 0,992 \cdot 10^{-6}$, то заданное требование можно обеспечить.

Распределение заданной вероятности отказа \tilde{Q} системы электроснабжения по ее элементам проводится в соответствии с блок-схемой, помещенной на чертеже рекомендуемого приложения 1. При этом используется функциональная зависимость

$$Q = \varphi(8 \cdot 10^{-4}, \varphi_2, \varphi_3) = 96 \cdot 10^{-8} + 8 \cdot \varphi_2 \cdot 10^{-4} + 8 \cdot \varphi_3 \cdot 10^{-4}.$$

Частные производные ψ_2 и ψ_3 равны

$$\psi_2 = \psi_3 = 8 \cdot 10^{-4}$$

Вычисляются $Q^{(0)}$, θ и $\delta^{(0)}$.

$$Q^{(0)} = Q_0 = 96 \cdot 10^{-8} + 8 \cdot 3 \cdot 10^{-8} + 8 \cdot 1 \cdot 10^{-8} = 1,28 \cdot 10^{-6};$$

$$\theta = \frac{1 \cdot 10^{-6}}{1,28 \cdot 10^{-6}} = 0,78, \quad \delta^{(0)} = \frac{(1,28 - 1,0) \cdot 10^{-6}}{1 \cdot 10^{-6}} = 0,28.$$

Так как $\delta^{(0)} = 0,28 > \tilde{\delta} = 0,05$, то определяются приближения $\varphi_j^{(1)}, Q^{(1)}$ и $\delta^{(1)}$.

Вычисление $\varphi_j^{(1)}, Q^{(1)}$ и $\delta^{(1)}$

$$\varphi_2^{(0)} = 8 \cdot 10^{-4}; \quad \varphi_3^{(0)} = 8 \cdot 10^{-4}; \quad b_2^{(0)} = \frac{b_2 \cdot 0,78}{10^{-6}} \cdot 3 \cdot 10^{-4} \cdot 8 \cdot 10^{-4} = -0,06;$$

$$b_3^{(0)} = -0,02;$$

$$\alpha_2^{(1)} = 0,28 \cdot \frac{0,06}{36 \cdot 10^{-4} + 4 \cdot 10^{-4}} = 4,2; \quad \alpha_3^{(1)} = 1,4;$$

$$\varphi_2^{(1)} = 3 \cdot 10^{-4} \cdot 0,78^{4,2} = 1,06 \cdot 10^{-4}; \quad \varphi_3^{(1)} = 0,71 \cdot 10^{-4};$$

$$Q^{(1)} = 96 \cdot 10^{-8} + 8 \cdot 1,06 \cdot 10^{-8} + 8 \cdot 0,71 \cdot 10^{-8} = 1,1 \cdot 10^{-6};$$

$$\delta^{(1)} = \frac{(1,1 - 1,0) \cdot 10^{-6}}{10^{-6}} = 0,1.$$

Так как $\delta^{(1)} = 0,1 > \tilde{\delta} = 0,05$, то определяются приближения $\varphi_j^{(2)}, Q^{(2)}$ и $\delta^{(2)}$.

Вычисление $\varphi_j^{(2)}, Q^{(2)}$ и $\delta^{(2)}$

$$\varphi_2^{(1)} = 8 \cdot 10^{-4}; \quad \varphi_3^{(1)} = 8 \cdot 10^{-4};$$

$$b_2^{(1)} = -0,248 \cdot 1,06 \cdot 8 \cdot 10^{-2} = -0,02; \quad b_3^{(1)} = -0,014;$$

$$[b_2^{(1)}]^2 + [b_3^{(1)}]^2 = (4+1,96) \cdot 10^{-4} = 5,96 \cdot 10^{-4};$$

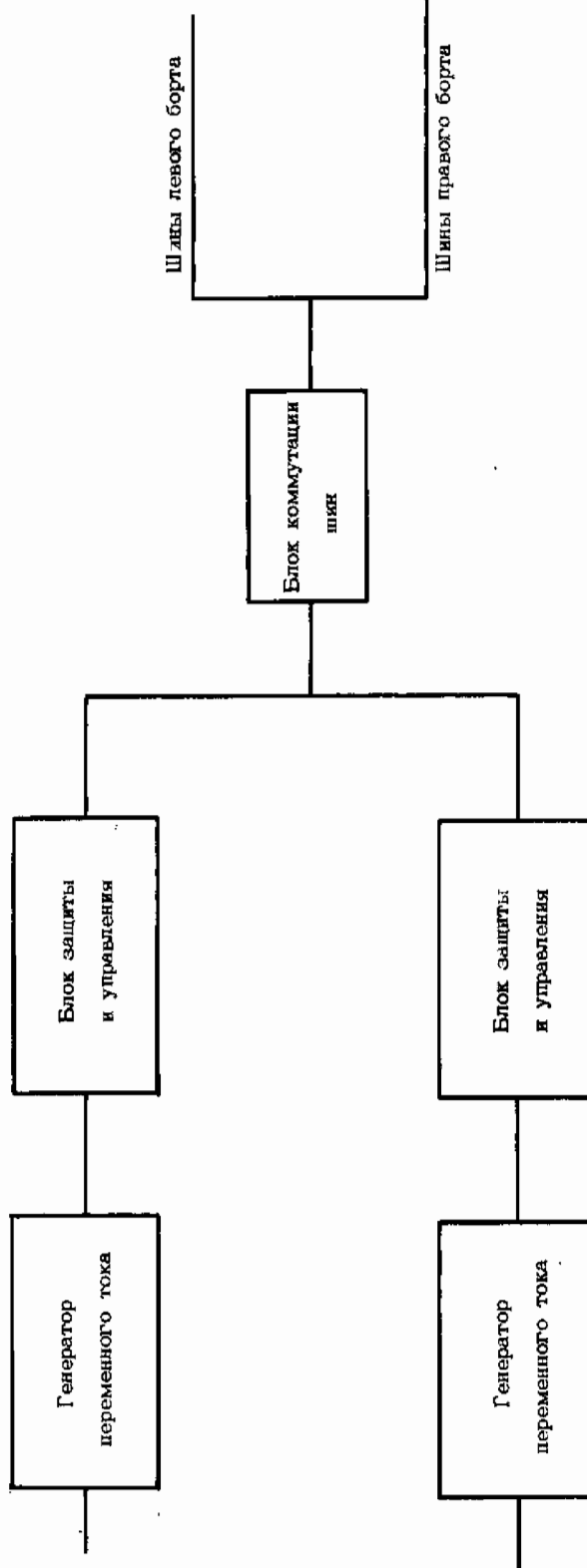
$$\sum_{k=2}^3 b_k^{(1)} \alpha_k^{(1)} - \delta^{(1)} = -(0,02 \cdot 4,2 + 0,014 \cdot 1,4) - 0,1 = -0,204;$$

№ ин.
№ изл.

383

Ном. № документа
Ном. № подделки

Нр. № альбома	№ 134.
Нр. № подшивки	383



Черт. 2

$$\alpha_2^{(2)} = 0,204 \cdot \frac{0,02}{5,96 \cdot 10^{-4}} = 6,85; \quad \alpha_3^{(2)} = 4,79;$$

$$q_2^{(2)} = 3 \cdot 10^{-4} \cdot 0,78^{6,85} = 0,55 \cdot 10^{-4}; \quad q_3^{(2)} = 0,30 \cdot 10^{-4};$$

$$Q^{(2)} = 96 \cdot 10^{-8} + 8 \cdot 0,55 \cdot 10^{-8} + 8 \cdot 0,30 \cdot 10^{-8} = 1,03 \cdot 10^{-6};$$

$$\delta^{(2)} = \frac{(1,03 - 1,0) \cdot 10^{-6}}{10^{-6}} = 0,03.$$

Так как $\delta^{(2)} = 0,03 < \tilde{\delta} = 0,05$, то $\tilde{q}_2 = q_2^{(2)}$ и $\tilde{q}_3 = q_3^{(2)}$. Результаты проведенного распределения указаны в табл. 3 в шестой графе.

Пример 4. Вероятность отказа \tilde{Q} системы автоматического управления (САУ) рулем высоты самолета за 2 ч полета должна быть не более $0,3 \cdot 10^{-4}$.

На черт. 3 представлена блок-схема САУ руля высоты, которая состоит из основного канала и идентичного ему резервного канала. Каждый из каналов имеет свой блок контроля, который предназначен для контроля исправности соответствующего канала.

Управляющий сигнал поступает на руль высоты из основного канала. Когда отказывает основной канал или его блок контроля, то происходит переключение на резервный канал.

Используя табличный метод расчета, получим следующую зависимость вероятности отказа Q системы автоматического управления от вероятностей отказов q_j ее элементов

$$Q = \Psi(q_1, q_2, q_3) = (q_1 + q_3)^2 + 0,5 q_1 q_2,$$

где q_1 – вероятность отказа канала (основного или резервного);

q_2 – вероятность отказа блока контроля, приводящего к потере способности контролировать исправность канала;

q_3 – вероятность отказа блока контроля, приводящего к ложному отключению исправного канала.

Вероятность отказа канала управления q_1 задана заранее и равна $4 \cdot 10^{-3}$. Требуется определить такие значения вероятностей отказов \tilde{q}_2 и \tilde{q}_3 , чтобы вероятность отказа САУ в целом была не больше заданной. При этом информации об ориентировочных значениях q_{02} и q_{03} не имеется.

Вначале действуем в соответствии с пп. 2, 4 настоящего стандарта

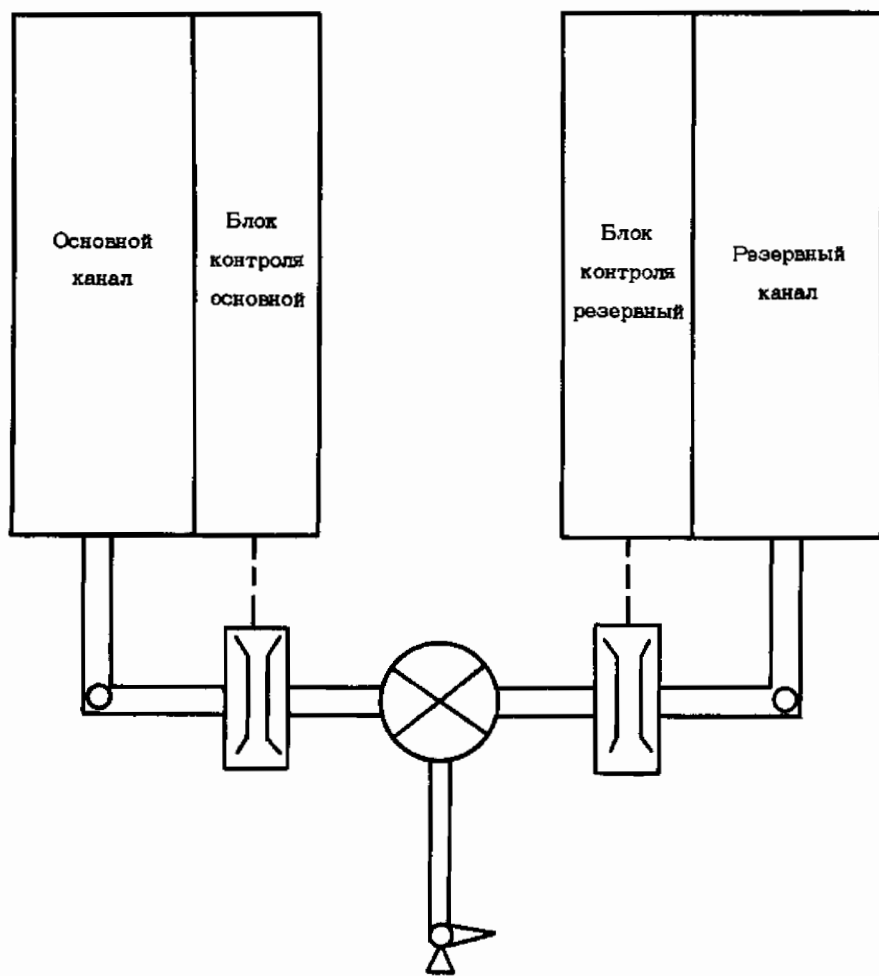
$$\psi_1 = 2(q_1 + q_3) + 0,5 q_2; \quad \psi_2 = 0,5 q_1; \quad \psi_3 = 2(q_1 + q_3).$$

В соответствии с формулой (16) стандарта имеем

$$\gamma_1(q) = 4,5q; \quad \gamma_2(q) = 0,5q; \quad \gamma_3(q) = 2q.$$

Таким образом, $K_1 = K_2 = K_3 = 1$; $\psi_1 = \psi_2 = \psi_3 = 0,5$.

Так как $\tilde{Q}^{0,5} = (0,3 \cdot 10^{-4})^{0,5} \approx 0,55 \cdot 10^{-2}$, то согласно формуле (17), получим



Черт. 3

Наг. № Альбомата
Наг. № подлинника

№ 133.
№ 133.

383

$$Q_j = (0,55+0,55)^2 \cdot 10^{-4} + 0,5 \cdot 0,55 \cdot 0,55 \cdot 10^{-4} = 1,36 \cdot 10^{-4};$$

$$\ell = \frac{0,3 \cdot 10^{-4}}{1,36 \cdot 10^{-4}} = 0,221.$$

Ориентировочные значения φ_{02} и φ_{03} вычисляются по формуле (18)

$$\varphi_{02} = \varphi_{03} = (0,221 \cdot 0,3 \cdot 10^{-4})^{0,5} = 0,257 \cdot 10^{-2}.$$

В дальнейшем действуем в соответствии с п. 2.1 настоящего стандарта, учитывая, что вероятность отказа канала управления равна $4 \cdot 10^{-3}$ и в процессе распределения остается постоянной,

Вычисление $Q^{(0)}$, θ и $\delta^{(0)}$

$$Q^{(0)} = Q_0 = (4+2,57)^2 \cdot 10^{-6} + 0,5 \cdot 4 \cdot 2,57 \cdot 10^{-6} = 0,483 \cdot 10^{-4};$$

$$\theta = \frac{0,3}{0,483} = 0,621; \quad \delta^{(0)} = \frac{0,183}{0,3} = 0,61.$$

Так как $\delta^{(0)} = 0,61 > \tilde{\delta} = 0,05$, то определяются приближения $\varphi_j^{(1)}$, $Q^{(1)}$ и $\delta^{(1)}$.

Вычисление $\varphi_j^{(1)}$, $Q^{(1)}$ и $\delta^{(1)}$

$$\psi_2^{(0)} = 2 \cdot 10^{-3}; \quad \psi_3^{(0)} = 2 \cdot (4 \cdot 10^{-3} + 2,57 \cdot 10^{-3}) = 13,14 \cdot 10^{-3};$$

$$b_2^{(0)} = \frac{\ell \ln 0,621}{0,3} \cdot \frac{2,57 \cdot 2 \cdot 10^{-6}}{10^{-4}} = -0,08; \quad b_3^{(0)} = -0,536;$$

$$[b_2^{(0)}]^2 + [b_3^{(0)}]^2 = 0,08^2 + 0,536^2 = 0,294;$$

$$\alpha_2^{(1)} = \frac{0,61 \cdot 0,08}{0,294} = 0,166; \quad \alpha_3^{(1)} = 1,113;$$

$$\varphi_2^{(1)} = 2,57 \cdot 10^{-3} \cdot 0,621 \cdot 0,166 = 2,37 \cdot 10^{-3}; \quad \varphi_3^{(1)} = 1,51 \cdot 10^{-3};$$

$$Q^{(1)} = (4 \cdot 10^{-3} + 1,51 \cdot 10^{-3})^2 + 0,5 \cdot 4 \cdot 10^{-3} \cdot 2,37 \cdot 10^{-3} = 0,351 \cdot 10^{-4};$$

$$\delta^{(1)} = \frac{0,051}{0,3} = 0,17.$$

Так как $\delta^{(1)} = 0,17 > \tilde{\delta} = 0,05$, то определяются приближения $\varphi_j^{(2)}$, $Q^{(2)}$ и $\delta^{(2)}$.

Вычисление $\varphi_j^{(2)}$, $Q^{(2)}$ и $\delta^{(2)}$

$$\psi_2^{(1)} = 2 \cdot 10^{-3}; \quad \psi_3^{(1)} = 2 \cdot (4+1,51) \cdot 10^{-3} = 11 \cdot 10^{-3};$$

$$b_2^{(1)} = -1,587 \cdot 2,37 \cdot 2 \cdot 10^{-2} = -0,075; \quad b_3^{(1)} = -0,264;$$

$$[b_2^{(1)}]^2 + [b_3^{(1)}]^2 = (0,75^2 + 2,64^2) \cdot 10^{-2} = 7,53 \cdot 10^{-2};$$

$$[b_2^{(1)} \alpha_2^{(1)} + b_3^{(1)} \alpha_3^{(1)}] - \delta^{(1)} = -(0,075 \cdot 0,166 + 0,264 \cdot 1,113) - 0,17 = -0,476;$$

Ни. № Абзац
Ни. № подпункт

383

$$\alpha_2^{(2)} = \frac{0,476 \cdot 0,075}{7,53 \cdot 10^{-2}} = 0,474; \quad \alpha_3^{(2)} = 1,669;$$

$$q_2^{(2)} = 2,57 \cdot 0,621 \cdot 0,474 \cdot 10^{-3} = 2,05 \cdot 10^{-3}; \quad q_3^{(2)} = 1,16 \cdot 10^{-3};$$

$$Q^{(2)} = (4+1,16)^2 \cdot 10^{-6} + 2 \cdot 2,05 \cdot 10^{-6} \approx 0,31 \cdot 10^{-4};$$

$$\delta^{(2)} = \frac{(0,31-0,3) \cdot 10^{-4}}{0,3 \cdot 10^{-4}} = 0,023.$$

Так как $\delta^{(2)} = 0,023 < \tilde{\delta} = 0,05$, то $\tilde{q}_2 = q_2^{(2)} = 2,05 \cdot 10^{-3}$;

$$\tilde{q}_3 = q_3^{(2)} = 1,16 \cdot 10^{-3}.$$

Вероятность отказа системы автоматического управления рулем высоты, принципиальная схема которой помещена на черт. 3, будет не больше заданной, если:

- вероятность отказа канала управления будет не больше $4 \cdot 10^{-3}$;
- вероятность отказа блока контроля, приводящего к потере способности контролировать исправность канала, будет не больше $2,05 \cdot 10^{-3}$;
- вероятность отказа блока контроля, приводящего к пожному отключению исправного канала, будет не больше $1,16 \cdot 10^{-3}$.

Пример 5. Отказы элементов САУ, рассмотренной в предыдущем примере, могут вызвать нарушения работоспособности двух видов: появление на выходе системы управляющих сигналов с неисправного канала (отказ первого вида), отключение системы (отказ второго вида). Последствия указанных видов отказов САУ могут быть различными. В частности, отказ первого вида, как правило, может привести к более тяжелым последствиям, чем отказ второго вида.

Пусть Q_1 и Q_2 соответственно вероятности отказов САУ первого и второго видов, причем

$$Q_1 = \varphi_1(q_1, q_2, q_3) = 0,5 q_1 q_2;$$

$$Q_2 = \varphi_2(q_1, q_2, q_3) = (q_1 + q_3)^2,$$

где φ_j имеют тот же смысл, что и в примере 4.

Предположим, что заданы вероятности указанных видов отказов САУ

$$\tilde{q}_1 = 10^{-6}, \quad \tilde{q}_2 = 10^{-5}.$$

Требуется распределить данные вероятности видов отказов САУ по ее элементам. При этом информации об ориентировочных значениях q_{01} , q_{02} и q_{03} не имеется, а заданная точность распределения δ равна 0,05.

Вначале действуем в соответствии с п. 3.4 настоящего стандарта

$$\psi_{11} = 0,5 q_2; \quad \psi_{12} = 0,5 q_1; \quad \psi_{21} = 2(q_1 + q_3); \quad \psi_{23} = 2(q_1 + q_3).$$

№ 630.
№ 631.

383

Ниб. № дубликата
Ниб. № подлинника

В соответствии с формулой (25) имеем

$$\gamma_{11} = 0,5q; \gamma_{12} = 0,5q; \gamma_{21} = 4q; \gamma_{23} = 4q.$$

Таким образом, $K_{11} = K_{12} = K_{21} = K_{23} = 1; V_{11} = V_{12} = V_{21} = V_{23} = 0,5$

Используя формулу (26), находим

$$Q_{1V} = 0,5 \tilde{Q}_1^{0,5} \tilde{Q}_1^{-0,5} = 0,5 \cdot 10^{-6}; Q_{2V} = (\tilde{Q}_2^{0,5} + \tilde{Q}_2^{-0,5})^2 = 4 \cdot 10^{-5}.$$

По формуле (27) стандарта определяем

$$L_1 = \frac{\tilde{Q}_1}{Q_{1V}} = \frac{10^{-6}}{0,5 \cdot 10^{-6}} = 2; L_2 = \frac{\tilde{Q}_2}{Q_{2V}} = \frac{10^{-5}}{4 \cdot 10^{-5}} = 0,25;$$

$$q_{01}^{(1)} = (L_1 \tilde{Q}_1)^{\frac{V_{11}}{2}} = (2 \cdot 10^{-6})^{0,5} = 1,41 \cdot 10^{-3}; q_{02}^{(1)} = 1,41 \cdot 10^{-3}; q_{03}^{(1)} = 0;$$

$$q_{01}^{(2)} = (L_2 \tilde{Q}_2)^{\frac{V_{21}}{2}} = (0,25 \cdot 10^{-5})^{0,5} = 1,58 \cdot 10^{-3}; q_{02}^{(2)} = 1,58 \cdot 10^{-3}; q_{03}^{(2)} = 0.$$

С помощью формулы (28) находим ориентировочные значения отказов (видов отказов) q_{0j} элементов САУ

$$q_{01} = \max(q_{01}^{(1)}, q_{01}^{(2)}) = 1,58 \cdot 10^{-3}; q_{02} = 1,41 \cdot 10^{-3}; q_{03} = 1,58 \cdot 10^{-3}.$$

В дальнейшем действуем в соответствии с блок-схемой, помещенной на чертеже справочного приложения 3, учитывая, что $\beta_1^{(o)} = \beta_2^{(o)} = \beta_3^{(o)} = 0$.

Вычисление $q_j^{(o)}$, $Q_i^{(o)}$ и $\delta^{(o)}$

$$q_1^{(o)} = q_{01} = 1,58 \cdot 10^{-3}; q_2^{(o)} = q_{02} = 1,41 \cdot 10^{-3}; q_3^{(o)} = q_{03} = 1,58 \cdot 10^{-3};$$

$$Q_1^{(o)} = Q_{01} = 0,5 q_1^{(o)}; Q_2^{(o)} = 1,12 \cdot 10^{-6}; Q_3^{(o)} = Q_{02} = 10^{-5}; \bar{x} = \frac{1}{2} \left(\frac{\tilde{Q}_1}{Q_{01}} + \frac{\tilde{Q}_2}{Q_{02}} \right) = 0,95;$$

$$\delta_1^{(o)} = \frac{|\tilde{Q}_1 - Q_1^{(o)}|}{\tilde{Q}_1} = 0,12; \delta_2^{(o)} = 0; \delta^{(o)} = \max(\delta_1^{(o)}, \delta_2^{(o)}) = 0,12.$$

Так как $\delta^{(o)} = 0,12 > \bar{\delta} = 0,05$, то определяются приближения $q_j^{(1)}$, $Q_i^{(1)}$ и $\delta^{(1)}$

Вычисление $q_1^{(1)}$, $Q_i^{(1)}$ и $\delta^{(1)}$

$$\psi_{11}^{(0)} = 0,5 q_2^{(0)} = 0,7 \cdot 10^{-3}; \psi_{12}^{(0)} = 0,8 \cdot 10^{-3}; \psi_{21}^{(0)} = 6,3 \cdot 10^{-3}; \psi_{23}^{(0)} = 6,3 \cdot 10^{-3};$$

$$\psi_{13}^{(0)} = \psi_{22}^{(0)} = 0;$$

$$b_{11}^{(0)} = \psi_{11}^{(0)} q_1^{(0)} L_n \mathcal{X} = -0,7 \cdot 10^{-3} \cdot 1,58 \cdot 10^{-3} \cdot 0,05 = -0,055 \cdot 10^{-6}; b_{12}^{(0)} = -0,056 \cdot 10^{-6};$$

$$b_{13}^{(0)} = 0$$

$$b_{21}^{(0)} = -6,3 \cdot 10^{-3} \cdot 1,58 \cdot 10^{-3} \cdot 0,05 = -0,498 \cdot 10^{-6}; b_{23}^{(0)} = -0,498 \cdot 10^{-6}; b_{22}^{(0)} = 0;$$

$$\mu_{11}^{(0)} = b_{11}^{(0)} b_{11}^{(0)} + b_{12}^{(0)} b_{12}^{(0)} = 6,16 \cdot 10^{-15}; \mu_{21}^{(0)} = \mu_{12}^{(0)} = b_{11}^{(0)} b_{21}^{(0)} = 27,4 \cdot 10^{-15},$$

$$\mu_{22}^{(0)} = b_{21}^{(0)} b_{21}^{(0)} + b_{23}^{(0)} b_{23}^{(0)} = 248 \cdot 10^{-15};$$

$$C_1^{(0)} = \bar{Q}_1 - Q_1^{(0)} = -0,12; C_2^{(0)} = \bar{Q}_2 - Q_2^{(0)} = 0.$$

В соответствии с блоком (11) (см. чертеж справочного приложения 3) решаем систему уравнений

$$\begin{cases} (6,16 \cdot d_1^{(0)} + 27,4 \cdot d_2^{(0)}) \cdot 10^{-15} = -0,12 \cdot 10^{-6}; \\ (27,4 \cdot d_1^{(0)} + 248 \cdot d_2^{(0)}) \cdot 10^{-15} = 0. \end{cases}$$

Используя правило Крамера, получим
 $d_1^{(0)} = -38,3 \cdot 10^6; d_2^{(0)} = 4,2 \cdot 10^6$.

В соответствии с формулой, помещенной в блоке 12 (см. чертеж справочного приложения 3), находим

$$\beta_1^{(1)} = d_1^{(0)} b_{11}^{(0)} + d_2^{(0)} b_{21}^{(0)} = 0,02; \beta_2^{(1)} = 2,14; \beta_3^{(1)} = 2,09.$$

Следовательно

$$q_1^{(1)} = q_{01} \mathcal{X} = 1,58 \cdot 10^{-3} \cdot 0,95 \cdot 0,02 \cdot 10^{-3} = 1,58 \cdot 10^{-3}; q_2^{(1)} = 1,26 \cdot 10^{-3};$$

$$q_3^{(1)} = 1,76 \cdot 10^{-3};$$

$$Q_1^{(1)} = 0,5 q_1^{(1)} q_2^{(1)} = 0,5 \cdot 1,58 \cdot 1,26 \cdot 10^{-6} = 0,995 \cdot 10^{-6}; Q_2^{(1)} = 1,11 \cdot 10^{-5}.$$

$$\delta_1^{(1)} = 0,005; \delta_2^{(1)} = 0,11; \delta^{(1)} = \max(\delta_1^{(1)}, \delta_2^{(1)}) = 0,11.$$

Так как $\delta^{(1)} = 0,11 > \tilde{\delta} = 0,05$, то вычисления продолжаются.

№ 138.
№ 139.

383

№ 140.
№ 141.

Вычисление $q_j^{(2)}$, $Q_i^{(2)}$ и $\delta^{(2)}$

$$\begin{aligned}\psi_{11}^{(1)} &= 0,5 \cdot 1,26 \cdot 10^{-3} = 0,63 \cdot 10^{-3}; \quad \psi_{12}^{(1)} = 0,5 \cdot 1,58 \cdot 10^{-3} = 0,79 \cdot 10^{-3}; \quad \psi_{13}^{(1)} = 1; \\ \psi_{21}^{(1)} &= 2 (1,58 + 1,76) 10^{-3} = 6,68 \cdot 10^{-3}; \quad \psi_{23}^{(1)} = 6,68 \cdot 10^{-3}; \quad \psi_{22}^{(1)} = 0; \\ b_{11}^{(1)} &= -0,63 \cdot 1,58 \cdot 0,05 \cdot 10^{-6} = -0,03 \cdot 10^{-6}; \quad b_{12}^{(1)} = -0,05 \cdot 10^{-6}; \quad b_{13}^{(1)} = 0; \\ b_{21}^{(1)} &= -6,68 \cdot 1,58 \cdot 0,05 \cdot 10^{-6} = -0,527 \cdot 10^{-6}; \quad b_{23}^{(1)} = -0,588 \cdot 10^{-6}; \quad b_{22}^{(1)} = 0; \\ \mu_{11}^{(1)} &= b_{11}^{(1)} b_{11}^{(1)} + b_{12}^{(1)} b_{12}^{(1)} = 5 \cdot 10^{-15}; \quad \mu_{21}^{(1)} = \mu_{12}^{(1)} = 26 \cdot 10^{-15}; \quad \mu_{22}^{(1)} = 624 \cdot 10^{-15}; \\ C_{11}^{(1)} &= \tilde{Q}_1 - Q_1^{(1)} + (b_{11}^{(1)} \beta_1^{(1)} + b_{12}^{(1)} \beta_2^{(1)}) = -0,103 \cdot 10^{-6}; \\ C_{21}^{(1)} &= \tilde{Q}_2 - Q_2^{(1)} + (b_{21}^{(1)} \beta_1^{(1)} + b_{23}^{(1)} \beta_2^{(1)}) = 0,118 \cdot 10^{-6}.\end{aligned}$$

Решая систему линейных уравнений

$$(d_1^{(1)} \cdot 5 + d_2^{(1)} \cdot 26) \cdot 10^{-15} = -0,103 \cdot 10^{-6};$$

$$(d_1^{(1)} \cdot 26 + d_2^{(1)} \cdot 624) \cdot 10^{-15} = 0,118 \cdot 10^{-6}.$$

$$\text{Получим } d_1^{(1)} = -25 \cdot 10^6; \quad d_2^{(1)} = 1,34 \cdot 10^6.$$

В соответствии с формулой, помещенной в блоке 12 (см. чертеж справочного приложения 3), находим

$$\beta_1^{(2)} = d_1^{(1)} b_{11}^{(1)} + d_2^{(1)} b_{21}^{(1)} = 0,54; \quad \beta_2^{(2)} = 1,25; \quad \beta_3^{(2)} = -0,79.$$

Следовательно

$$q_1^{(2)} = q_{01} \cdot \frac{\beta_1^{(2)}}{2} = 1,58 \cdot 10^{-3} \cdot 0,95 \cdot 0,54 = 1,54 \cdot 10^{-3}; \quad q_2^{(2)} = 1,32 \cdot 10^{-3}; \quad q_3^{(2)} = 1,65 \cdot 10^{-3};$$

$$Q_1^{(2)} = 0,5 q_1^{(2)}; \quad q_2^{(2)} = 1,016 \cdot 10^{-6}; \quad Q_2^{(2)} = (q_1^{(2)} + q_3^{(2)})^2 = 1,018 \cdot 10^{-5};$$

$$\delta_1^{(2)} = 0,016; \quad \delta_2^{(2)} = 0,018;$$

$$\delta^{(2)} = \max(\delta_1^{(2)}, \delta_2^{(2)}) = 0,018.$$

Так как $\delta^{(2)} = 0,018 < \tilde{\delta} = 0,05$, то

$$\tilde{q}_1 = q_1^{(2)} = 1,54 \cdot 10^{-3}; \quad \tilde{q}_2 = q_2^{(2)} = 1,32 \cdot 10^{-3}; \quad \tilde{q}_3 = q_3^{(2)} = 1,65 \cdot 10^{-3}.$$

Вероятности видов отказов системы автоматического управления рулем высоты будут не больше заданных, если:

- вероятность отказа канала управления будет не больше $1,54 \cdot 10^{-3}$;
- вероятность отказа блока контроля, приводящего к потере способности

№ ин.
№ ин.

383

Ни. № дубликата
Ни. № подлинник.

контролировать исправность канала, будет не больше $1,32 \cdot 10^{-3}$;

– вероятность отказа блока контроля, приводящего к ложному отключению исправного канала, будет не больше $1,65 \cdot 10^{-3}$.

Но.	№ избыточного	№ изм.
Но.	№ подаваемого	№ изм.

383

ЛИСТ РЕГИСТРАЦИИ ИЗМЕНЕНИЙ

№ код.	Номера страниц				Номер "Изв. об изм."	Подпись	Дата	Срок введения изменения
	изме- ненных	засмо- женных	новых	анну- лиро- ванных				

Исп. № дубликата	
Исп. № подлинника	383